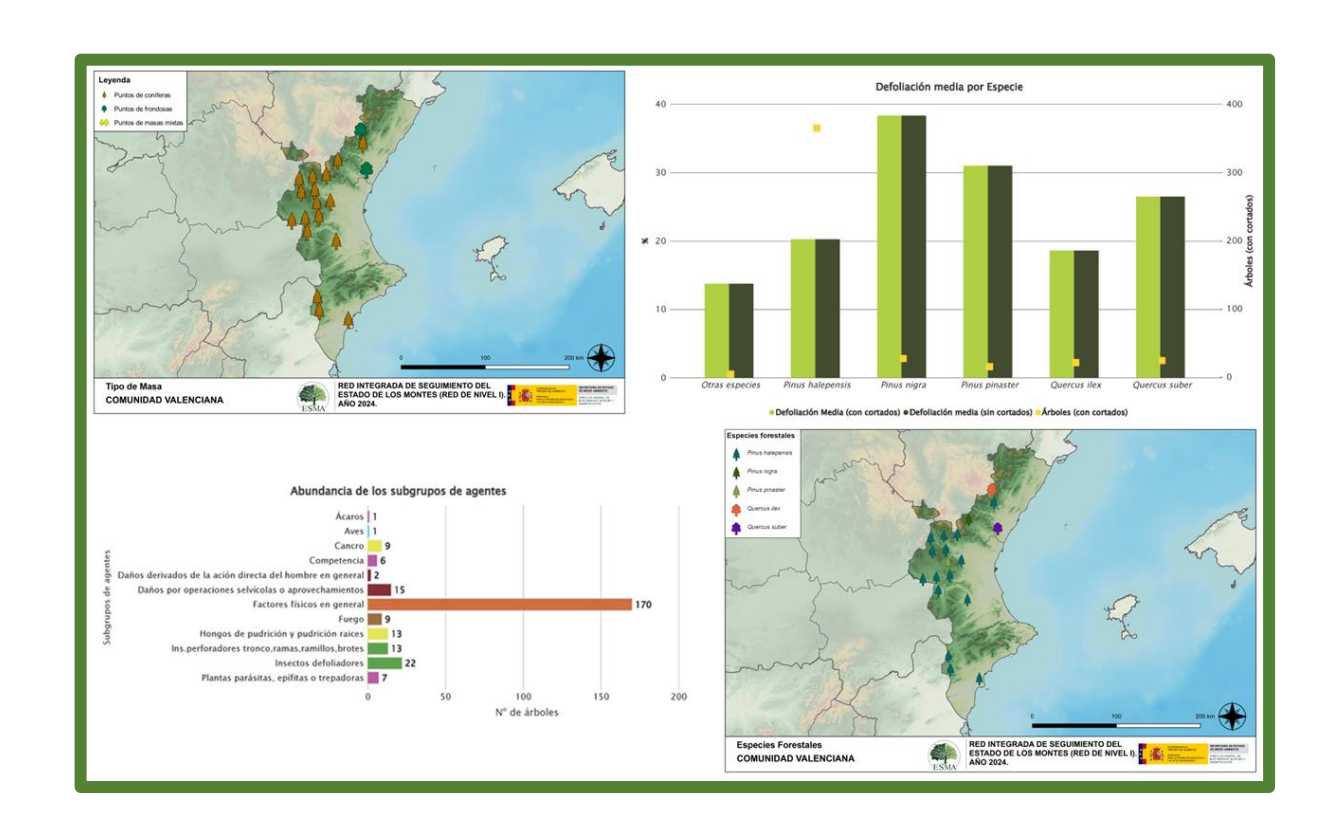


TRABAJOS DE ADQUISICIÓN DE INFORMACIÓN SOBRE EL ESTADO DE LOS BOSQUES ESPAÑOLES EN BASE A LA RED INTEGRADA DE SEGUIMIENTO DEL ESTADO DE LOS BOSQUES: RED DE NIVEL I



MEMORIA ANUAL INFORME DE RESULTADOS: COMUNITAT VALENCIANA **AÑO 2024**













ÍNDICE

1. INTRODUCCIÓN	1
2. DISTRIBUCIÓN DE LAS PARCELAS DE LA RED INTEGRADA	2
3. ANÁLISIS DE PARÁMETROS DE REFERENCIA	6
3.1. Defoliación	6
3.2. Fructificación	11
3.3. Agentes observados	12
4. ANTECEDENTES METEOROLÓGICOS	19
4.1. Temperaturas	19
4.2. Precipitaciones	19
5. ESTUDIO GEOESTADÍSTICO DE LA DEFOLIACIÓN MEDIA	21
6. ANÁLISIS DE LAS PRINCIPALES ESPECIES FORESTALES	24
6.1. Pinus halepensis	24
6.2. Quercus suber	29
7. PRINCIPALES DAÑOS DETECTADOS A LO LARGO DE LOS RECORRIDOS	33
7.1. Pinares	33
7.2. Encinares y alcornocales	38
7.3. Otras especies	40
8. FORMULARIOS ICP	42
8.1. Formulario T ₁₊₂₊₃	43
8.2. Formularios 4b	44
8.3. Formulario C	46
Índice de Gráficos	47
Índice de Imágenes	48
Índice de Mapas	49
Índice de Tablas	50
ANEXO CARTOGRÁFICO	51





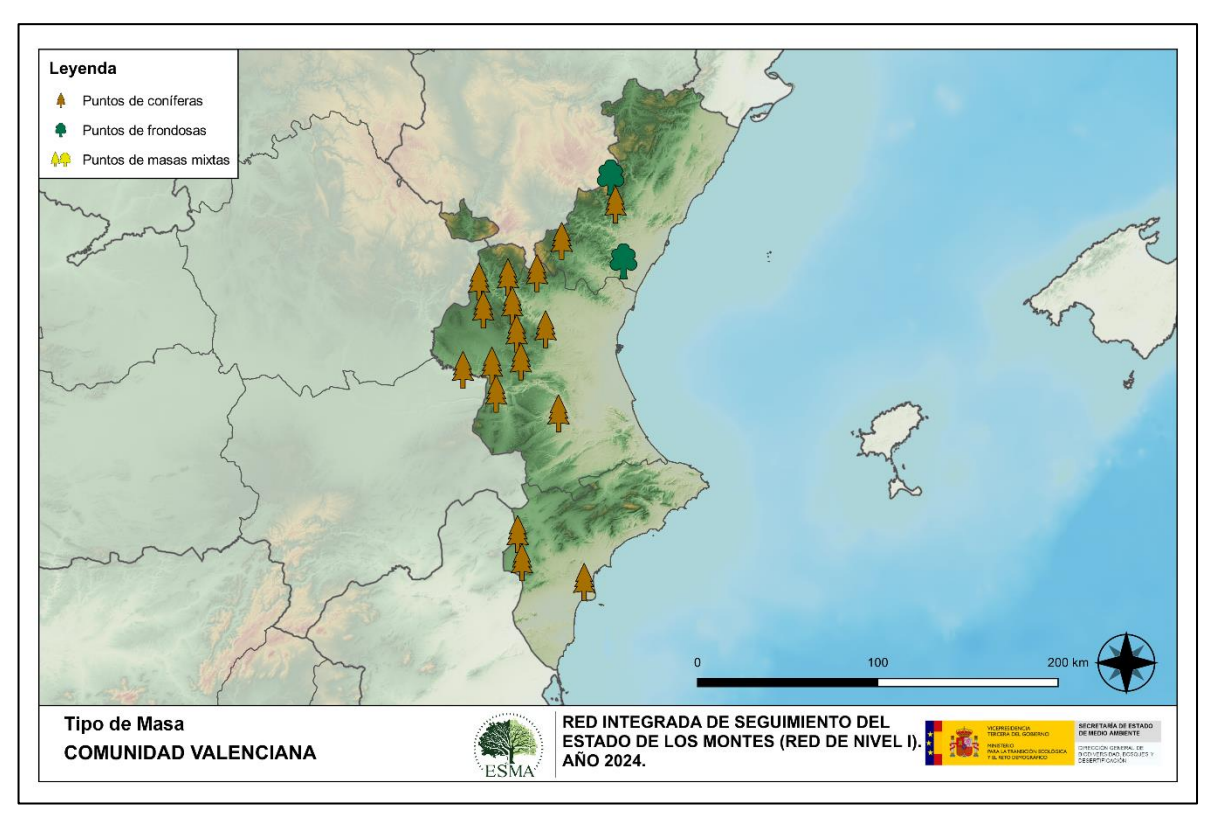
1. INTRODUCCIÓN

En la Comunitat Valenciana se localizan un total de 19 puntos de muestreo de la Red Europea de Seguimiento a Gran Escala del Estado de los Bosques en España (Red de Nivel I), repartidos a lo largo y ancho de sus áreas forestales arboladas, lo que supone que la muestra está compuesta por un total de 456 árboles.

La revisión anual de los citados puntos de la Red de Nivel I, tiene como objetivo conocer la variación en el tiempo y en el espacio del estado de salud de las masas forestales. Para ello se estudian, a gran escala los parámetros: defoliación, fructificación, descripción de síntomas de debilitamiento sanitario e identificación de los agentes dañinos.

Por otra parte, durante la inspección se examinan e identifican los agentes causantes de daños, si los hubiere, señalando la parte afectada del árbol, el signo o síntoma observado, la localización dentro del mismo y su extensión. Además, cada uno de estos daños se clasifica dentro de su grupo correspondiente y recibe un código único de identificación.

En el Mapa nº 1 se muestra la distribución de las parcelas de la Red de Nivel I en la Comunitat Valenciana.



Mapa nº 1: Distribución de los puntos de muestreo.





2. DISTRIBUCIÓN DE LAS PARCELAS DE LA RED INTEGRADA

La distribución de las parcelas de muestreo en cada una de las provincias levantinas resulta desigual en cuanto a su número, dependiendo de la superficie cubierta por masas forestales arboladas, existente en cada una de ellas. Así, la provincia con mejor representación es Valencia, en la que se localizan más de la mitad de la totalidad de los puntos de la Red en la Comunitat Valenciana. A continuación, se presenta el Gráfico nº 1 que muestra la cantidad de puntos de la Red de Nivel I instalados en cada una de las provincias de la comunidad.

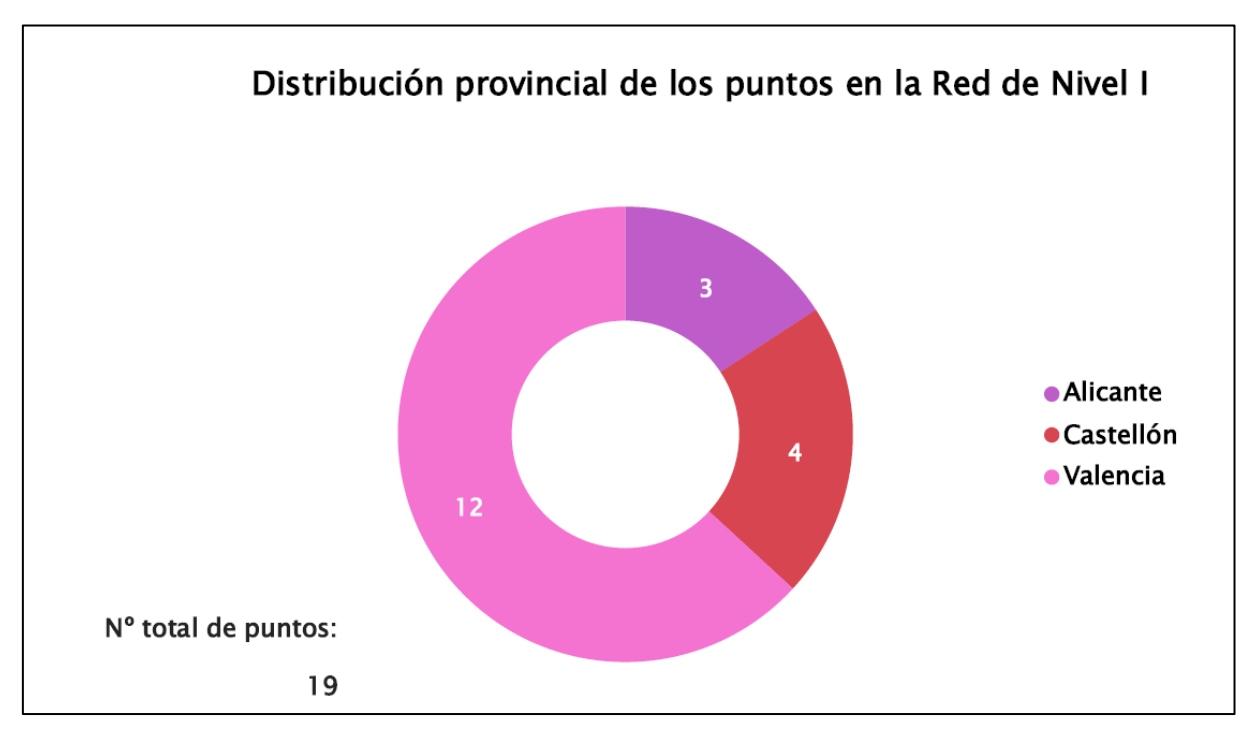


Gráfico nº 1: Distribución de los puntos de muestreo por provincias.



Atendiendo a la conformación específica de las masas forestales muestreadas, se presenta el Gráfico nº 2 en el que se observa que casi todos los puntos corresponden a coníferas, siendo el pino carrasco la especie más abundante con gran diferencia. Tan sólo existen dos parcelas ubicadas en masas de frondosas que corresponden a encinas y alcornoques.

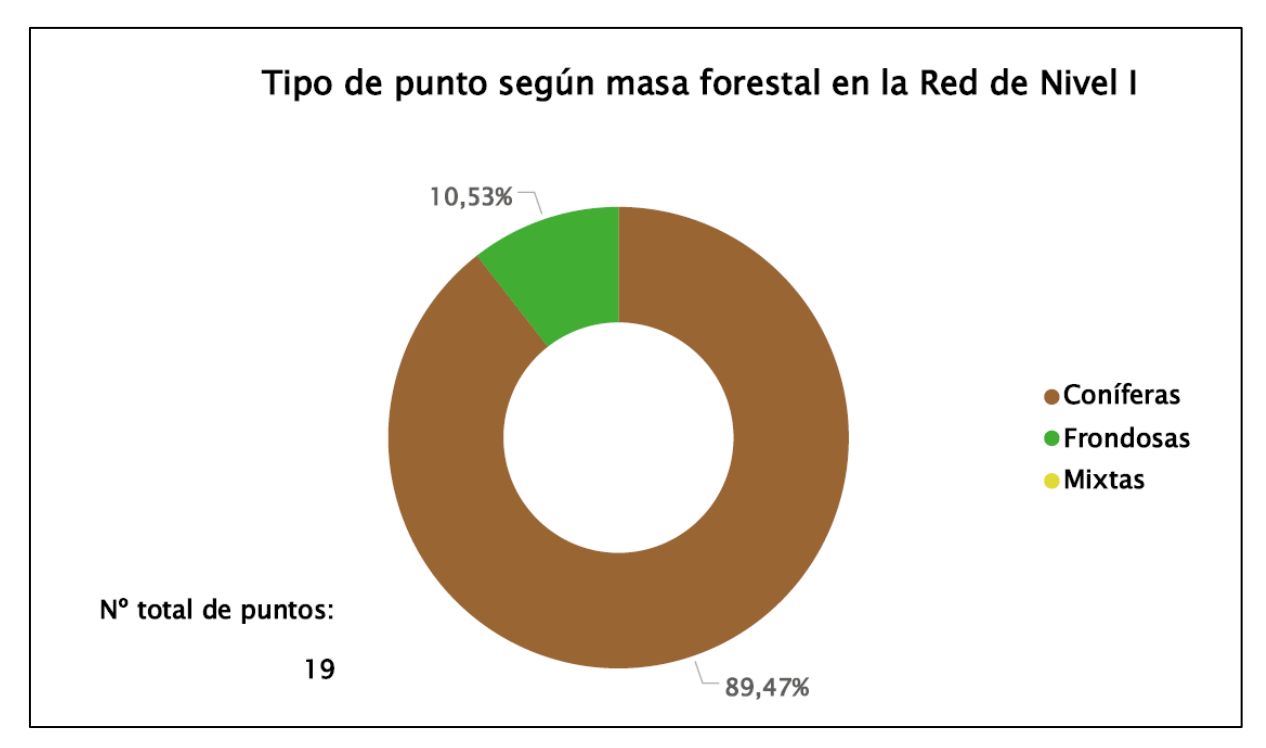


Gráfico nº 2: Distribución de los puntos de muestreo según tipo de masa forestal.



La distribución por especies de los pies que componen la muestra en la Comunitat Valenciana se expone en el Gráfico nº 3. Además, en la Tabla nº 1 aparece la cantidad de ejemplares correspondiente a cada especie y el porcentaje que representan frente a la totalidad.

De su estudio se extrae que la especie más representada es el pino carrasco (*Pinus halepensis*) suponiendo el 80% de los pies muestreados. Las siguientes especies con mayor representación son el pino laricio (*P. nigra*) con un 6%, la encina (*Quercus ilex*) y el alcornoque (*Q. suber*), ambas con un 5% y el pino rodeno (*Pinus pinaster*) con un 3%.

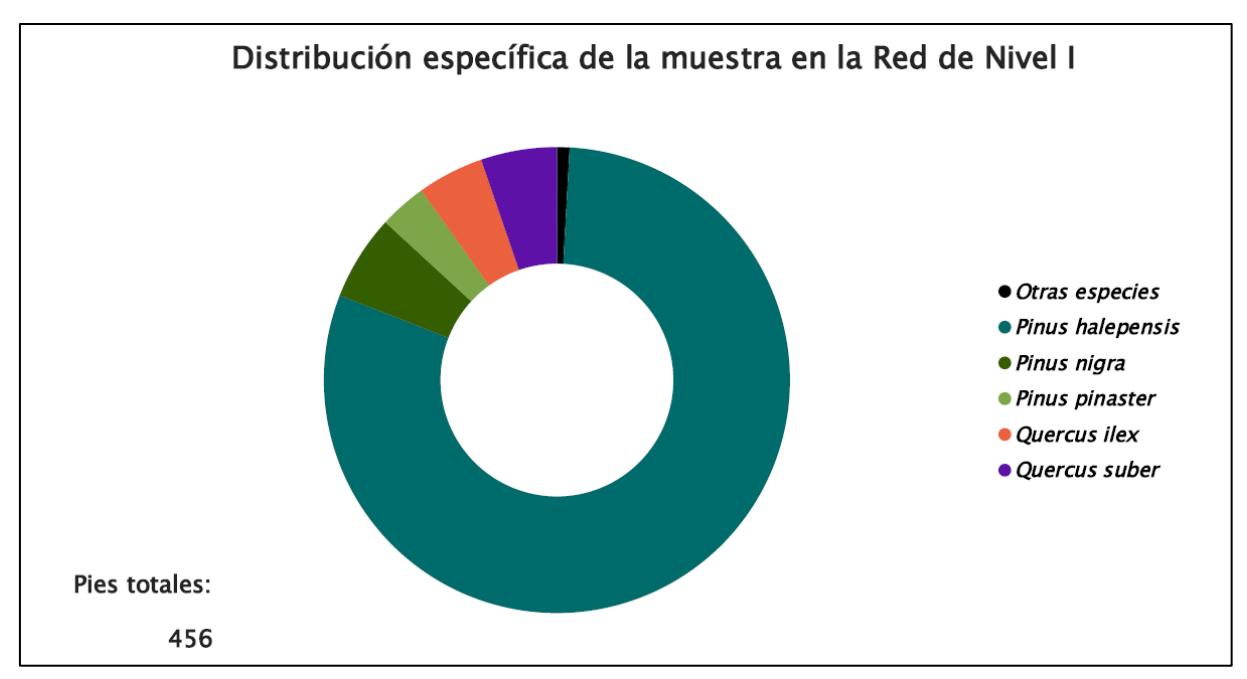


Gráfico nº 3: Distribución por especies de los pies que componen la muestra.

Especie	Nº Pies	%
Otras especies	4	0,88
Pinus halepensis	365	80,04
Pinus nigra	27	5,92
Pinus pinaster	15	3,29
Quercus ilex	21	4,61
Quercus suber	24	5,26

Tabla nº 1: Especies forestales.

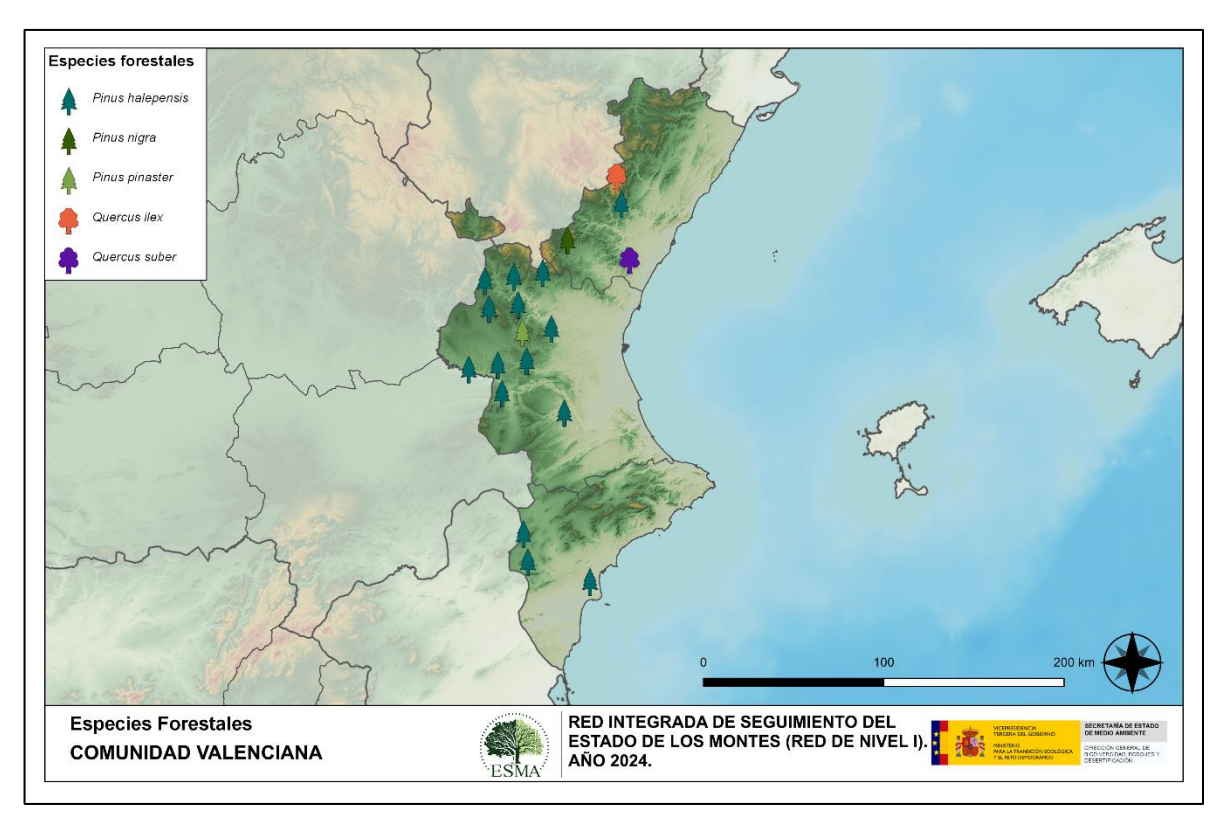


Por otro lado, aquellas especies que cuentan con una representación inferior al 1% del total de pies muestreados en toda la comunidad, se han agrupado en un único bloque bajo la denominación de *Otras especies*. La relación de especies incluidas en dicho bloque se presenta en la Tabla nº 2, junto con la cantidad total de pies y el porcentaje que suponen frente al total de los pies muestreados.

Especie	Nº Pies	%
Quercus faginea	4	0,88

Tabla nº 2: Especies forestales con representación inferior al 1%.

En el Mapa nº 2 se muestra la distribución de los puntos de muestreo de la Red de Nivel I, según las especies forestales que los forman. A cada parcela se le ha asociado la especie más numerosa dentro de los 24 pies que la componen, de forma que la información referida a la composición específica de cada punto se reduce a una sola especie, si bien en realidad la parcela puede estar compuesta por pies de 2 o más especies diferentes.



Mapa nº 2: Distribución de las principales especies forestales en los puntos de muestreo.





3. ANÁLISIS DE PARÁMETROS DE REFERENCIA

El principal parámetro evaluado en la Red de Nivel I es la defoliación en cuanto al aparente estado de salud del arbolado; además, se valora la fructificación y se identifican los síntomas y agentes causantes de los daños detectados durante la revisión.

3.1. Defoliación

La **defoliación** es un parámetro básico para cuantificar el estado aparente de salud del arbolado, que se define como la pérdida o falta de desarrollo de hojas o acículas que sufre un árbol en la parte de su copa evaluable comparándola con la del árbol de referencia ideal de la zona. En las coníferas y frondosas de hoja perenne, la defoliación significa tanto reducción de retención de hojas o acículas como pérdida prematura en comparación con los ciclos normales. En frondosas de hoja caduca la defoliación es pérdida prematura de masa foliar.

La defoliación ha sido estimada en porcentajes del 5%, según la cantidad de hoja o acícula perdida por el árbol en comparación con un pie ideal cuya copa tuviera el follaje completo totalmente desarrollado. Los porcentajes asignados a efectos estadísticos se agrupan en las siguientes clases de defoliación:

%	Clase de defoliación	Descripción
0-10%	Clase 0	Defoliación Nula
11-25%	Clase 1	Defoliación Ligera
26-60%	Clase 2	Defoliación Moderada
>60%	Clase 3	Defoliación Grave
100%	Clase 4	Árbol Seco

Tabla nº 3: Clases de defoliación.

En numerosos gráficos realizados en el documento, se establece una comparación en este parámetro de estudio: con pies cortados y sin pies cortados. "Con pies cortados", el parámetro es medido para la totalidad de la muestra de los árboles; en cambio "Sin cortados" significa que de la muestra se excluyen los pies cortados (código 541 de agente de daño). Se crea esta comparación para diferenciar la variación del parámetro respecto a procesos naturales, (p. ej.: aumento de defoliación debido a sequía) o inducidos por el hombre, (p. ej.: aumento de defoliación producido por cortas).



En el Gráfico nº 4 se expone la defoliación media de las principales especies forestales que componen la muestra en 2024.

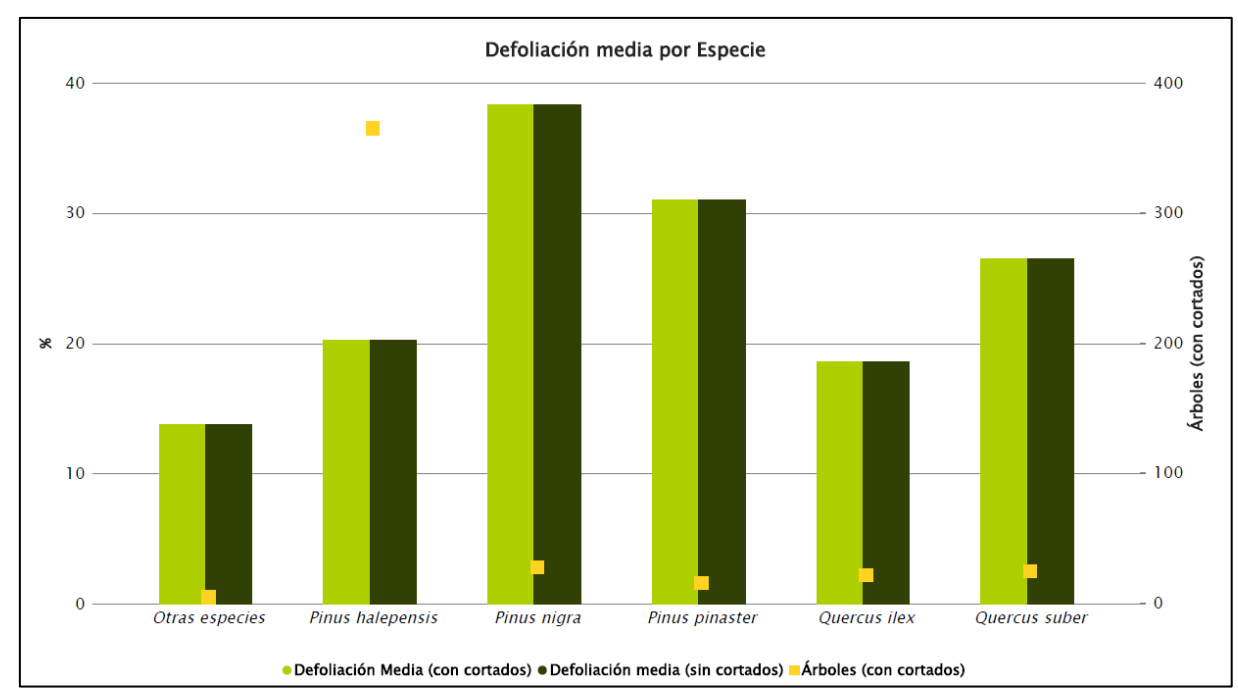


Gráfico nº 4: Defoliación media por especie en 2024.

Se aprecia que la mitad de las especies muestreadas presentan valores de pérdida foliar dentro de la clase "ligera". El resto de las especies se encuentran en el límite inferior de la clase moderada, destacando el pino laricio (*Pinus nigra*) cuya defoliación media observada ha sido de 38,33%, debido a los daños ocasionados por el hongo *Cenangium ferruginosum* junto con las defoliaciones moderadas que ha ocasionado la procesionaria del pino (*Thaumetopoea pityocampa*).



En el Gráfico nº 5 se presenta la distribución por clases de defoliación de las principales especies forestales en el año 2024.

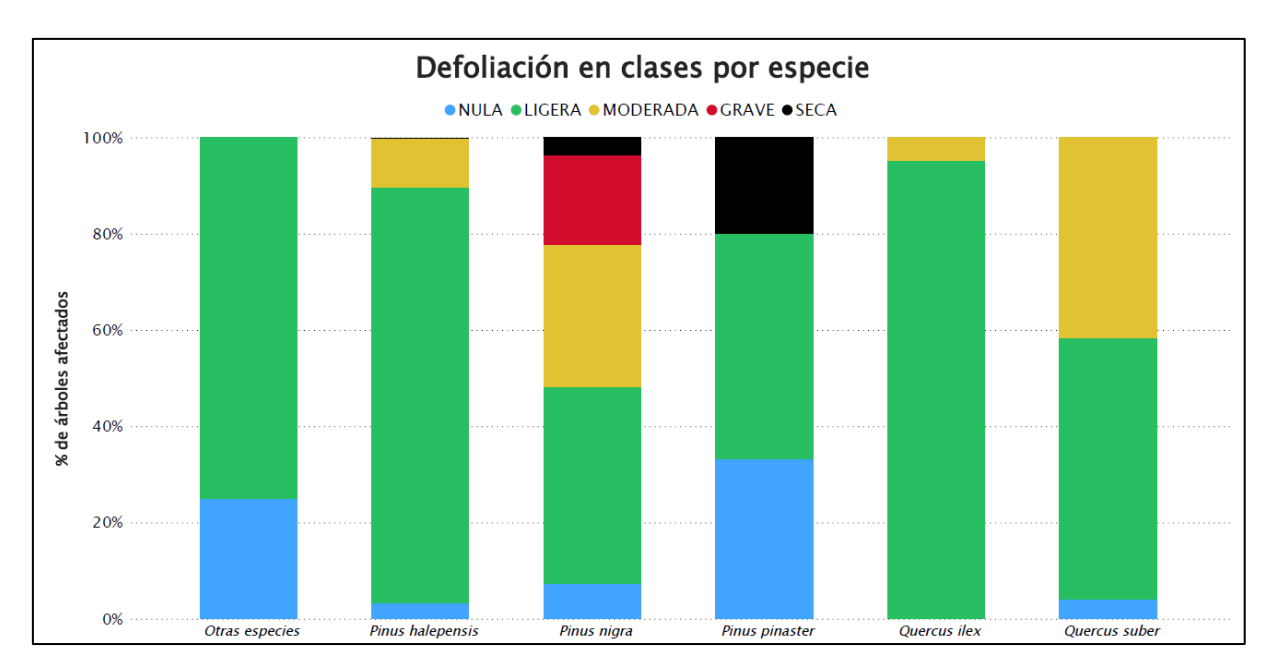


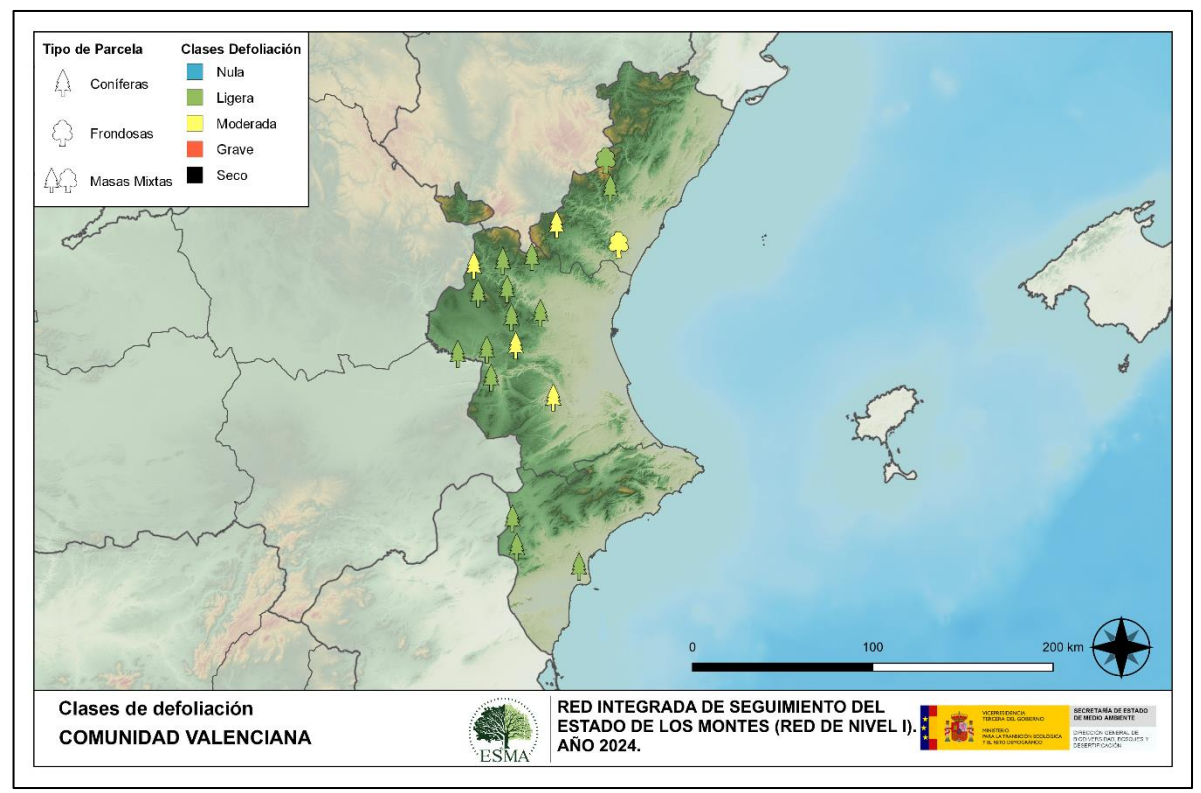
Gráfico nº 5: Distribución de la defoliación por clases para las principales especies en 2024.

Como se puede observar, la mayor parte de la población muestreada se encuentra dentro de las clases de defoliación "nula" y "ligera" en todas las especies estudiadas. Sin embargo, casi todas las especies muestran árboles con defoliación "moderada", principalmente a causa de los efectos de la sequía sobre diversas masas forestales de la comunidad.

Las únicas especies que presentan defoliaciones dentro de las clases "grave" y "seca" son *Pinus nigra* y *Pinus pinaster*, debido como se ha comentado anteriormente a problemas asociados a hongos e insectos defoliadores fundamentalmente.



En el Mapa nº 3 se muestra la distribución de los puntos de muestreo, según la clase de defoliación media, observada en la evaluación correspondiente a la temporada 2024. Para ello se calcula una defoliación media, con los valores asignados a los 24 pies que conforman la parcela, y posteriormente se traduce a una clase de defoliación, siguiendo las definiciones establecidas en la Tabla nº 3.



Mapa nº 3: Distribución de los puntos de muestreo, según las clases de defoliación observadas en 2024.

También es importante conocer la evolución de la defoliación media año tras año, en la Tabla nº 4 se presenta esta evolución de la defoliación desde el año 2014 y para todo el territorio, diferenciando entre defoliación con árboles cortados y sin árboles cortados. En la Comunitat Valenciana la defoliación media observada en 2024, presenta un nivel de daño ligero **21,85%** (Clase 1, defoliación "ligera" 11 a 25%). Además, esta temporada no se ha cortado ningún ejemplar de la muestra.

Año	2014	2015	2016	2017	2018	2019	2020	2021	2022	2023	2024
Defoliación media (con cortados)	22,77		27,99	27,18	22,99	24,92	22,79	19,75	20,60	21,34	21,85
Defoliación media (sin cortados)	22,60		27,36	27,02	22,14	24,92	21,23	19,75	20,60	21,34	21,85

Tabla nº 4: Evolución de la defoliación media.

Es necesario destacar que, en 2015, no se realizaron los trabajos de campo única interrupción en la serie de datos desde el comienzo de las evaluaciones en el año 1987. Por este motivo, no se dispone de los datos de defoliación media de dicha temporada y para mostrar una continuidad en la línea gráfica correspondiente al parámetro del año 2015 (tanto en coníferas como en frondosas), se ha realizado una interpolación entre los valores del parámetro de la temporada 2014 y los de la 2016.



Los Gráficos nº 6 y 7 muestran la evolución de la defoliación media, a lo largo de los últimos 11 años, 2014-2024. En ambos se incluyen la totalidad de la muestra de árboles en cada una de las temporadas, correspondiendo el primero de ellos a las especies de coníferas y el segundo a las de frondosas.

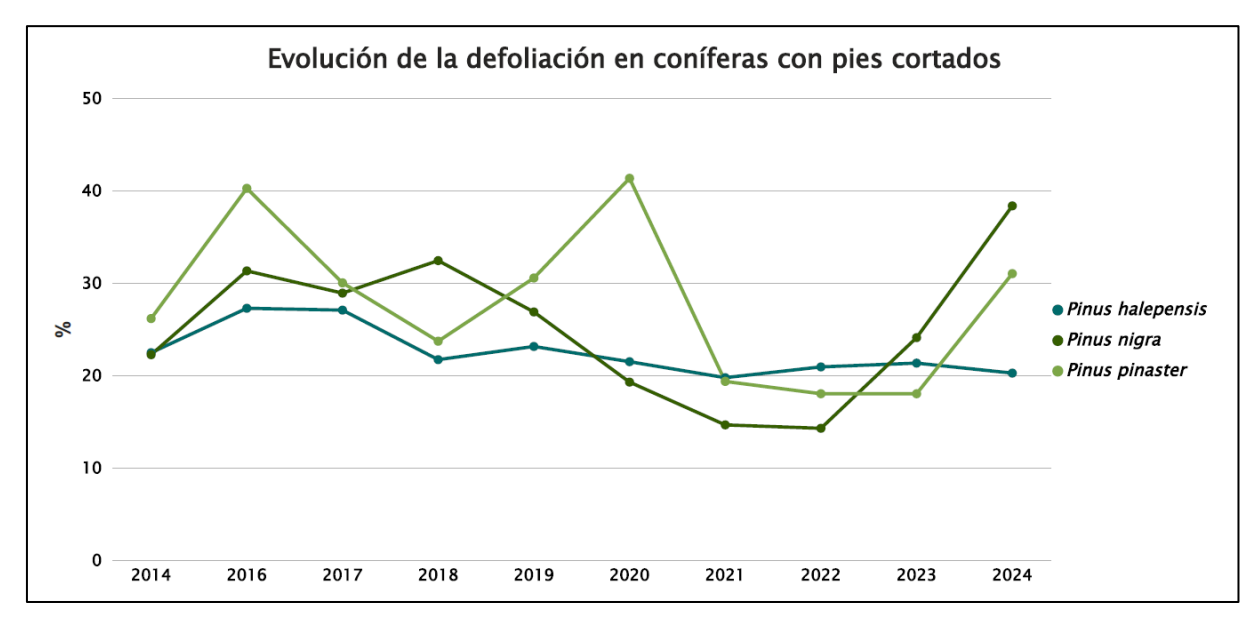


Gráfico nº 6: Evolución de la defoliación media en coníferas con pies cortados.

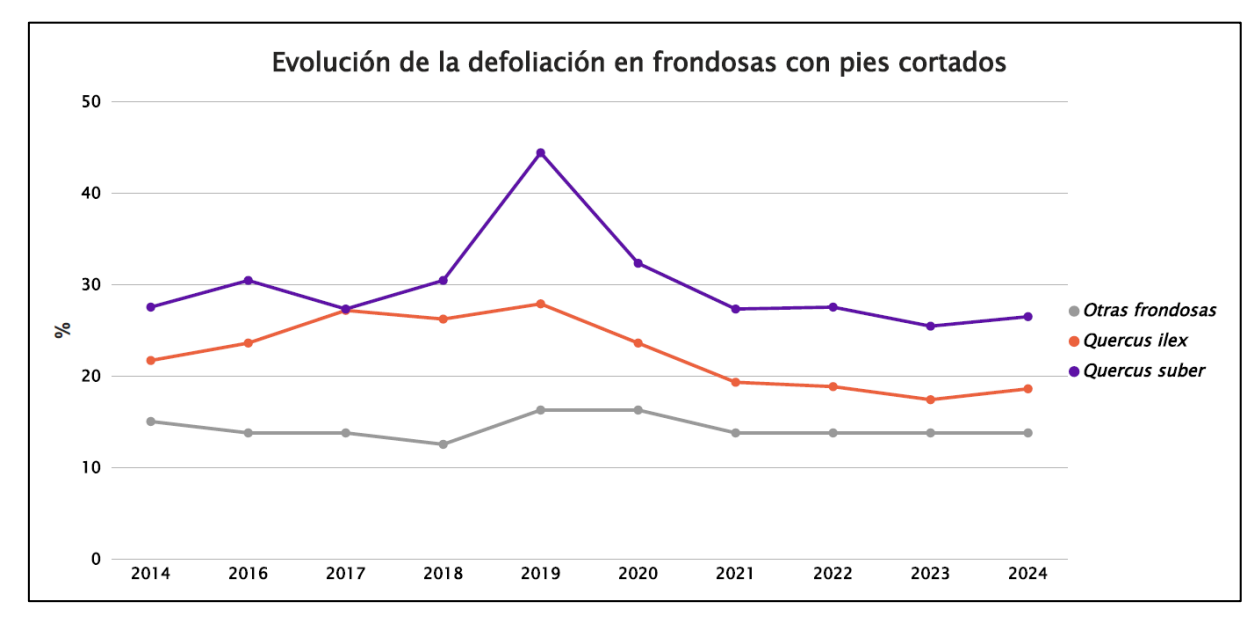


Gráfico nº 7: Evolución de la defoliación media en frondosas con pies cortados



3.2. Fructificación

La **fructificación**, está considerada como la producción de fruto en frondosas y de conos verdes en coníferas. Este parámetro depende de diversos factores como pueden ser la especie forestal, la época de visita a la parcela y las condiciones meteorológicas previas registradas en la zona de evaluación y ha sido clasificada según la siguiente escala:

Clase de fructificación	Descripción
Clase 1.1	Ausente : fructificación ausente o no considerable. Incluso con una observación concienzuda de la copa con prismáticos no hay signos de fructificación
Clase 1.2	Escasa : Presencia esporádica de fructificación, no apreciable a primera vista. Solo apreciable al mirar a propósito con prismáticos
Clase 2	Común : la fructificación es claramente visible, puede observarse a simple vista. La apariencia del árbol está influenciada pero no dominada por la fructificación
Clase 3	Abundante: la fructificación domina la apariencia del árbol, capta inmediatamente la atención, determinando la apariencia del árbol

Tabla nº 5: Clases de fructificación

Para analizar este parámetro de referencia, se ha tenido en cuenta la fructificación por clases, para cada especie forestal, ya que la cuantificación de la fructificación se realiza mediante una clasificación en categorías y no como valores medios.

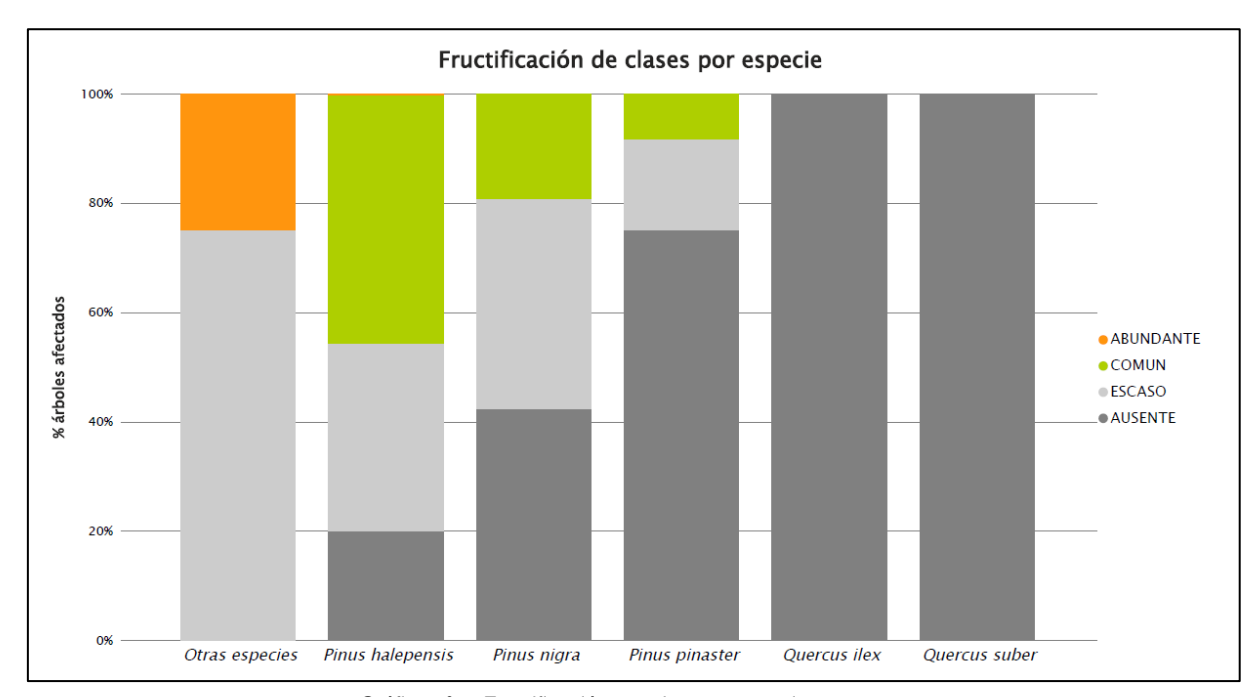


Gráfico nº 8: Fructificación por clases y especies en 2024.



3.3. Agentes observados

A continuación, se muestra la Tabla nº 6, en la que aparecen los grupos de agentes dañinos observados en las parcelas de la Red de Nivel I en la Comunitat Valenciana. Además, se expone la cantidad de árboles en los que aparecen, indicando igualmente los subgrupos de agentes y el código con el que se les identifica; teniendo en cuenta que un mismo árbol puede resultar afectado por más de un subgrupo de agentes.

En la misma tabla, y para cada subgrupo de agentes con representación suficiente, se presenta un vínculo a una cartografía temática que permite visualizar su distribución espacial, a partir de los puntos muestreados, para todo el territorio nacional. Dicha cartografía se presenta como Anexo Cartográfico.

Grupo de agentes	Pies afectados	Subgrupos de agentes	Referencia de mapa
Sin agentes	226		
Vertebrados	1		
Insectos (200)	35	Insectos defoliadores (210) y minadores (260) Insectos perforadores de ramas y ramillos (220), de yemas (230) y de frutos (240)	Insectos defoliadores y minadores Insectos perforadores
		Insectos chupadores (250) y gallícolas (270)	Insectos chupadores y gallícolas
		Hongos de acículas (301), tronco y brotes (302) y tizones (303)	Hongos de acículas, brotes y tronco
Hongos (300)	22	Hongos de pudrición (304)	Hongos de pudrición
		Manchas en hojas (305), antracnosis (306) y oídio (307)	Hongos en hojas planas
		Sequía (422)	<u>Sequía</u>
Factores físicos y/o químicos (400)	170	Granizo (425), nieve (430) y viento (431)	<u>Granizo, nieve y viento</u>
Daños de origen antrópico (500)	17	Acción directa del hombre (500)	Acción directa del hombre
Fuego (600)	9	Fuego (600)	<u>Fuego</u>
Otros daños específicos (Plantas parásitas, bacterias,) (800)	14	Plantas parásitas, epífitas o trepadoras (810)	Plantas parásitas, epífitas o trepadoras
, , , , , , , , , , , , , , , , , , , ,		Competencia (850)	<u>Competencia</u>
Investigados pero no identificados (900)	0	Agentes no identificados (900)	

Tabla nº 6: Vínculos a los mapas de presencia de los subgrupos de agentes.



En el Gráfico nº 9, se presenta la distribución de los diferentes grupos de agentes detectados en la presente campaña, indicando el porcentaje de ocasiones en los que aparecen cada uno de ellos, sobre los árboles evaluados. Para la realización de este gráfico se han excluido aquellas situaciones en las que los pies no están afectados por ningún agente dañino.

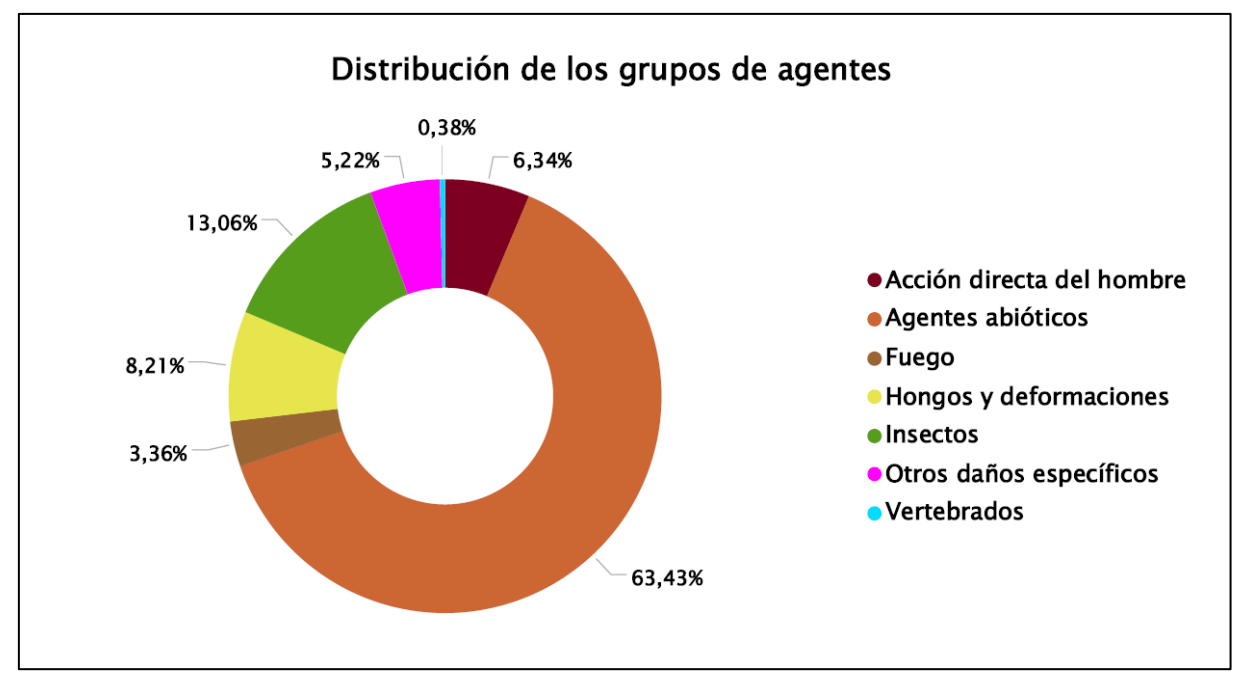


Gráfico nº 9: Distribución de los grupos de agentes.

El grupo denominado "Agentes abióticos" es el más abundante en la presente temporada, siendo la sequía el agente más consignado, afectando principalmente a aquellos pies que vegetan en suelos con peores condiciones, fuertes pendientes y orientaciones a solana. En estas localizaciones se aprecia una pérdida prematura de las acículas de tercer año, siendo menos frecuente la observación de microfilia en las acículas del año.

Por otra parte, la agrupación "Insectos" ha sido el segundo grupo en cuanto a abundancia detectada en los montes de la comunidad; siendo la procesionaria del pino sobre ejemplares de *Pinus nigra*, el agente más consignado.



En el Gráfico nº 10 se muestra el total de árboles afectados por cada uno de los subgrupos de agentes que se han detectado en la inspección correspondiente a 2024.

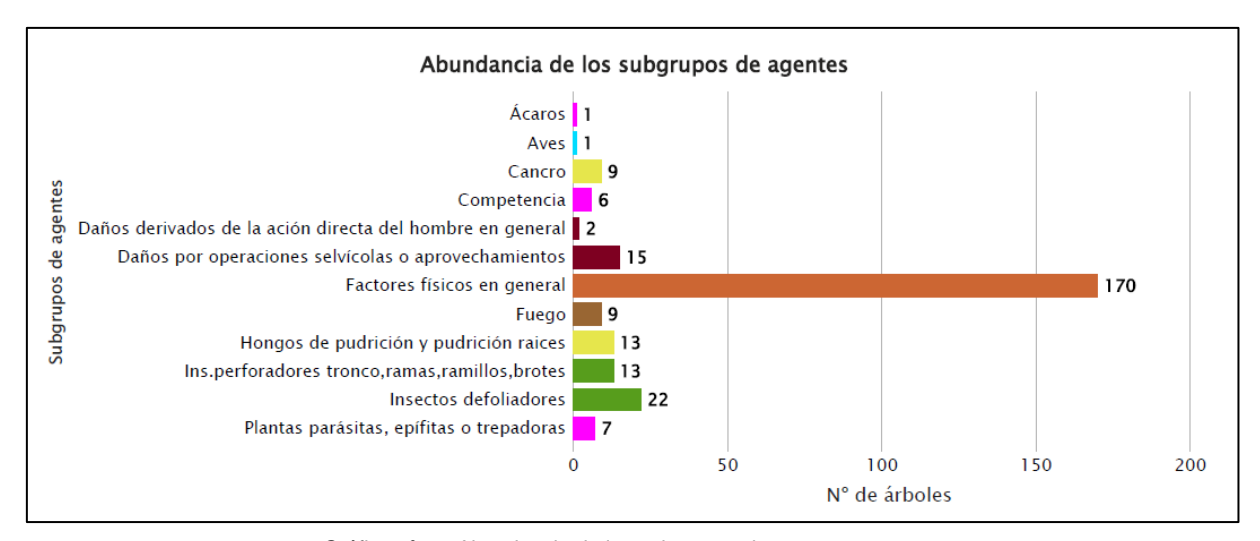


Gráfico nº 10: Abundancia de los subgrupos de agentes en 2024.

El gráfico anterior muestra, que el subgrupo denominado "Factores físicos en general" es el más abundante de todos los detectados en la presente temporada, siendo la sequía el principal agente de este subgrupo, si bien se siguen observando algunas roturas antiguas por nieve, a causa de las nevadas del invierno 2021.

El subgrupo "Insectos defoliadores", aparece en segundo lugar, siendo la procesionaria del pino (*Thaumetopoea pityocampa*) el agente más consignado ocasionando defoliaciones moderadas sobre pino laricio (*Pinus nigra*).





En la Tabla nº 7 expuesta a continuación se presenta la relación de agentes observados en el último año en la comunidad, indicando igualmente el número de pies sobre los que se ha detectado el agente en cuestión, así como el número de parcelas afectadas, representándose estos datos tanto en valores absolutos como relativos.

Vertebrados	Pies afectados	% Pies	Puntos afectados	% Puntos
Picidae (Pito real, picapinos, etc)	1	0,22	1	5,26
Insectos	Pies afectados	% Pies	Puntos afectados	% Puntos
Thaumetopoea pityocampa	22	4,82	3	15,79
Cerambyx spp	4	0,88	1	5,26
Coraebus undatus	1	0,22	1	5,26
Ins.perforadores tronco, ramas, ramillos, brotes	3	0,66	1	5,26
Tomicus spp	5	1,10	2	10,53
Hongos	Pies afectados	% Pies	Puntos afectados	% Puntos
Trametes spp	13	2,85	4	21,05
Cenangium ferruginosum	9	1,97	1	5,26
Abióticos	Pies afectados	% Pies	Puntos afectados	% Puntos
Nieve / hielo	57	12,50	12	63,16
Sequía	118	25,88	17	89,47
Viento / tornado	1	0,22	1	5,26
Antrópicos	Pies afectados	% Pies	Puntos afectados	% Puntos
Daños mecánicos / vehículos	2	0,44	1	5,26
Op. selvícolas	12	2,63	3	15,79
Resinación	3	0,66	1	5,26
Fuego	Pies afectados	% Pies	Puntos afectados	% Puntos
Fuego	9	1,97	2	10,53
Otros	Pies afectados	% Pies	Puntos afectados	% Puntos
Plantas parásitas, epífitas o trepadoras	4	0,88	1	5,26
		0.00	4	5.00
Viscum album	3	0,66	1	5,26
Viscum album Competencia en general	3 4	0,66	4	5,26 21,05

Tabla nº 7: Relación de agentes por número de pies y parcela detectados en 2024.



Es importante destacar que la tabla anterior muestra el número de pies afectados por cada uno de los diferentes agentes dañinos consignados en la revisión de campo. Así, un árbol puede resultar afectado por más de un agente distinto y por lo tanto el sumatorio de la cantidad de pies, que aparece en la Tabla nº 7, no tiene por qué coincidir con el total de árboles afectados por cada subgrupo de agentes que aparecen en el Gráfico nº 10.

Como se puede observar, la sequía es el principal agente causante de daños, afectando al 25,88% de los pies estudiados. Las roturas por nieve suponen el segundo agente nocivo en cuanto a número de pies afectados, siendo el 12,50%, aunque los daños observados corresponden a roturas antiguas.

En el Gráfico nº 11 se presenta la evolución a lo largo de los últimos 11 años, de la abundancia de los grupos de agentes que se han observado. Para ello se muestra, de forma acumulada, la cantidad de veces que aparece cada uno de los grupos de agentes.

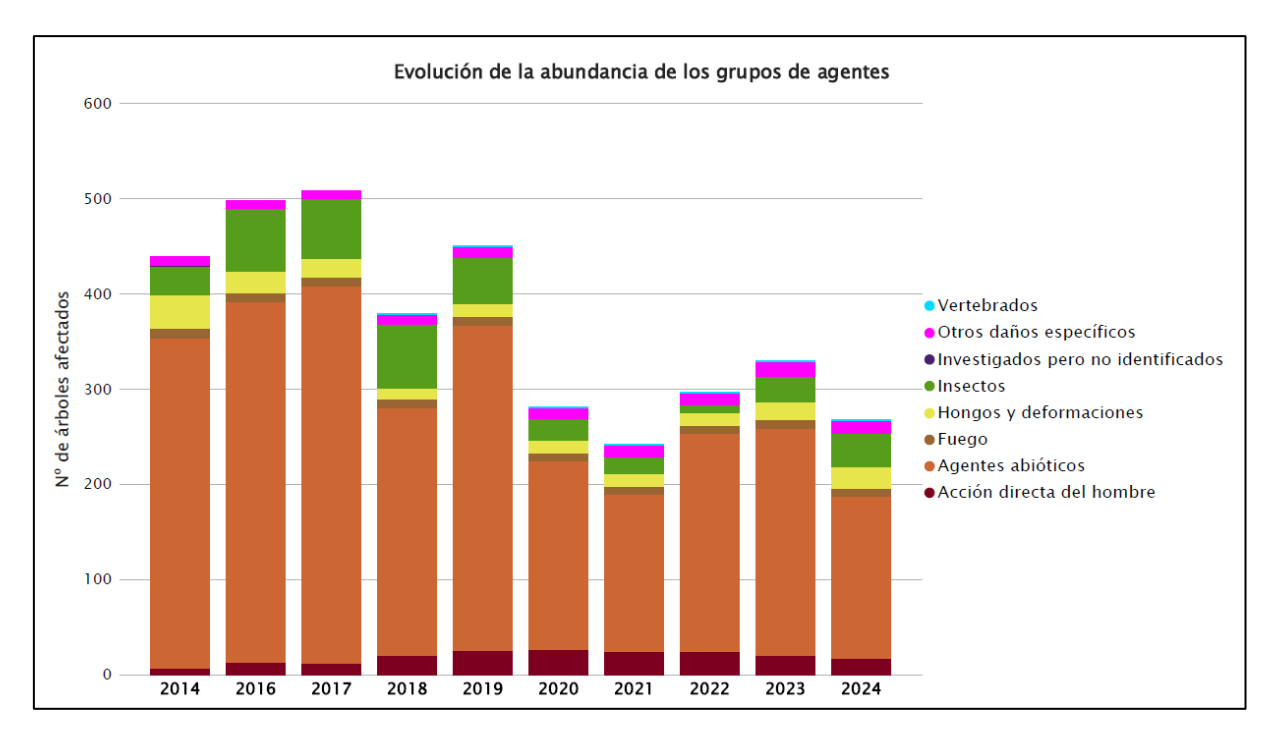


Gráfico nº 11: Evolución de la abundancia de los grupos de agentes, 2014-2024.

A lo largo de la serie de estudio se observa que el grupo de agentes más veces observado es el correspondiente a "Agentes abióticos", siendo la sequía el agente más relevante.

Por otra parte, se observa una cantidad de pies afectados inferior a la de la temporada pasada, con un descenso de un 19%, respecto al año anterior. Esta disminución se debe al grupo correspondiente a los "Agentes abióticos", ya que los daños ocasionados por la sequía han disminuido de una manera notable en el arbolado de la comunidad, este año.



En el Gráfico nº 12 se muestra la evolución de las causas de mortalidad que provocan los diversos grupos de agentes.

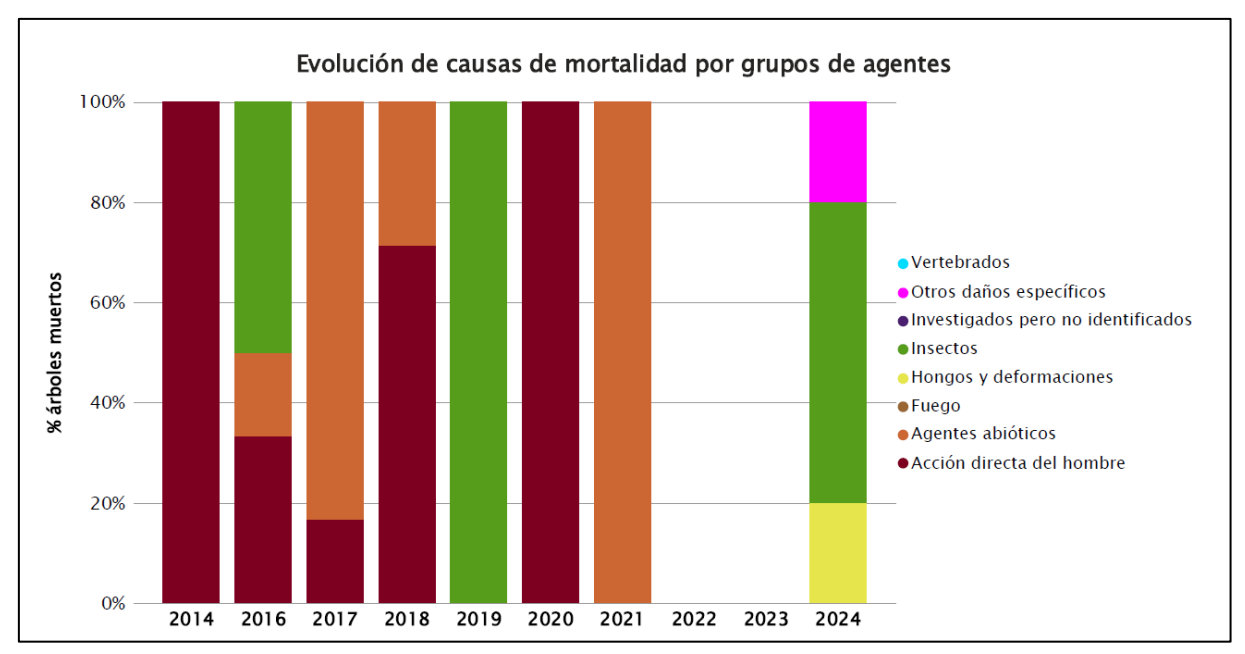


Gráfico nº 12: Evolución de las causas de mortalidad por los grupos de agentes, 2014-2024.

Se observa como causa reiterada a lo largo de la serie estudiada la muerte de pies por el grupo "Acción directa del hombre"; debido principalmente a las cortas realizadas sobre diversas especies forestales.

Este año han muerto 5 ejemplares, de los que 3 han sido afectados por "Insectos" (escolítidos), 1 por "Hongos y deformaciones" (*Cenangium ferruginosum*) y otro por "Otros daños específicos" (competencia).

Es importante señalar que la evolución de la mortalidad puede resultar aleatoria en algunos años en los que se originan fenómenos como incendios forestales o cortas, que producen importantes variaciones de este parámetro.

A continuación, se muestra una tabla resumen en la que aparece el número de árboles muertos a lo largo de los últimos 11 años. Como se puede observar, en los años 2022 y 2023 no se murió ningún ejemplar de la muestra.

Año	2014	2015	2016	2017	2018	2019	2020	2021	2022	2023	2024
Pies muertos	1		12	6	7	2	9	3	0	0	5

Tabla nº 8: Árboles muertos por año.





A continuación, se presenta la Tabla nº 9 con las referencias a los mapas generados por subgrupos de agentes. En cada mapa se muestra la distribución de los subgrupos de agentes a lo largo del territorio.

Para la realización de estos mapas, se ha utilizado una metodología similar a la empleada en el mapa de interpolación de la defoliación media (Mapa nº 4), basada en un análisis geoestadístico de los datos y realización del modelo predictivo, mediante interpolaciones. Estos mapas pretenden ser informativos de la presencia y distribución de los diferentes subgrupos de agentes representados referidos a su abundancia, nunca a un grado de daño.

Subgrupos de agentes	Referencia de mapa
Insectos defoliadores (210) y minadores (260)	Insectos defoliadores y minadores
Insectos perforadores de ramas y ramillos (220), de yemas (230) y de frutos (240)	Insectos perforadores
Insectos chupadores (250) y gallícolas (270)	Insectos chupadores y gallícolas
Hongos de acículas (301), tronco y brotes (302) y tizones (303)	Hongos de acículas, brotes y tronco
Hongos de pudrición (304)	Hongos de pudrición
Manchas en hojas (305), antracnosis (306) y oídio (307)	Hongos de hojas planas
Sequía (422)	<u>Sequía</u>
Granizo (425), viento (430) y nieve (431)	<u>Granizo, nieve y viento</u>
Acción directa del hombre (500)	Acción directa del hombre
Fuego (600)	<u>Fuego</u>
Plantas parásitas, epífitas o trepadoras (810)	Plantas parásitas, epífitas o trepadoras
Competencia (850)	<u>Competencia</u>

Tabla nº 9: Vínculos a los mapas de distribución de los subgrupos de agentes.





4. ANTECEDENTES METEOROLÓGICOS

A partir de los resúmenes meteorológicos estacionales que proporciona la Agencia Estatal de Meteorología (AEMET) en la web: http://www.aemet.es se realiza un análisis de las temperaturas y precipitaciones registradas durante el último año hidrológico, para cada comunidad autónoma. Este periodo anual, no coincide con el año natural, comenzando el 1 de septiembre y finalizando el 31 de agosto del año siguiente, para tener en cuenta que parte de la precipitación del otoño y del invierno puede acumularse en forma de nieve y no fundirse hasta la primavera o verano siguiente.

4.1. Temperaturas

Durante el **otoño** las temperaturas medias estacionales han estado muy por encima de los valores normales, mostrando un carácter extremadamente cálido en gran parte del territorio de la comunidad. Los meses de septiembre y octubre fueron muy cálidos, con una temperatura media de 1,0 °C y 2,4 °C superior a la del periodo de referencia, respectivamente. Por otro lado, el mes de noviembre fue extremadamente cálido, con una temperatura media 2,6 °C por encima de los valores de referencia.

Al igual que el anterior, el trimestre **invernal** ha sido extremadamente cálido en el conjunto del territorio. Diciembre ha resultado muy cálido, con una temperatura media 1,4 °C superior al periodo de referencia; mientras que enero ha sido térmicamente extremadamente cálido y febrero ha sido muy cálido, con una temperatura media 2,9 °C superior que la de la climatología de referencia.

La **primavera** ha comenzado con un mes de marzo muy cálido con una temperatura media de 12,7 °C, siendo esta 1,4 °C superior a la de la climatología de referencia. También el mes de abril ha sido muy cálido en su conjunto con una temperatura media de 14,6 °C, siendo esta 1,2 °C superior a la de la climatología de referencia (13,4 °C). Por último, mayo también ha sido térmicamente normal, siendo la temperatura media de este último mes 17,9 °C que es 0,9 °C superior a la de la climatología de referencia.

El **verano** ha resultado muy cálido en el conjunto de la comunidad, observando anomalías térmicas en torno +1 °C en amplias zonas del territorio. El mes de junio fue cálido con una temperatura media de 21,5 °C, mientras que julio y agosto fueron muy cálidos, con unas temperaturas medias de 25,7 °C y 25,8 °C, y con 1,5 °C y 1,4 °C por encima de la media respectivamente.

4.2. Precipitaciones

La estación **otoñal** se caracterizó por mostrar un carácter entre seco y muy seco en el conjunto del territorio. Septiembre resultó muy húmedo, con una precipitación media acumulada de 86,2 l/m². Por otro lado, octubre se califica como muy seco con una precipitación acumulada de 7,3 l/m², mientras que en noviembre la precipitación acumulada fue de 2,5 l/m², que es un 95 % inferior que la del promedio climático del periodo 1991-2020 (53,5 l/m²), calificándolo como extremadamente seco.

El invierno ha resultado muy seco en casi la totalidad de la comunidad, excepto en el norte de



Castelló y zonas interiores de Valencia donde ha tenido un carácter seco. El mes de diciembre ha sido pluviométricamente muy seco con una precipitación acumulada un 92 % inferior a la del periodo de referencia, mientras que enero y febrero han sido secos en el conjunto del territorio, con una precipitación acumulada de 20,3 l/m² y 11,9 l/m² respectivamente.

Durante la **primavera**, el carácter pluviométrico del mes de marzo ha sido normal, la precipitación acumulada ha sido 36,3 l/m², lo que supone un 25 % inferior a la del promedio del periodo 1991-2020 (48,7 l/m²). Por otro lado, abril ha sido muy seco, con una precipitación acumulada de 10,0 l/m², que es un 80 % inferior a la del promedio del periodo 1991-2020 (50,7 l/m²); mientras que mayo ha sido muy seco, con una precipitación acumulada de 13,5 l/m², un 70% inferior que la del promedio del periodo 1991-2020 (44,5 l/m²).

El **periodo estival** ha resultado en conjunto húmedo, e incluso muy húmedo en zonas occidentales de las provincias de Alacant y Valencia. El mes de junio resultó muy húmedo, La precipitación acumulada fue de 61,8 l/m², que es casi dos veces y media el valor del promedio climático del periodo 1991-2020 (25,3 l/m²). Es el mes más húmedo del actual año hidrológico (desde octubre de 2023) y el primero que presenta superávit de los últimos nueve meses. Por otro lado, la precipitación acumulada durante el mes de julio ha sido 9,4 l/m², que es un 22 % inferior al del valor del promedio climático del periodo 1991-2020 (12,0 l/m²) y, globalmente, el mes se califica como seco. Por el contrario, el mes de agosto tuvo un carácter normal, siendo la precipitación acumulada durante el mes de 19,4 l/m².



Imagen nº 1: Antiguas terrazas en la zona de Vistabella del Maestrazgo (Castelló).





5. ESTUDIO GEOESTADÍSTICO DE LA DEFOLIACIÓN MEDIA

La interpolación es una técnica geoestadística en la que se intentan predecir los valores de un determinado parámetro (la defoliación en este caso), sobre una determinada superficie conociendo su valor en puntos concretos. Como todas las técnicas estadísticas, para su empleo requiere de un estudio que permita determinar la fiabilidad de los resultados obtenidos. En general, la fiabilidad depende principalmente de dos factores:

- Número de muestras: en este caso nos referimos a la cantidad de parcelas de la Red.
- Varianza de las muestras: es una representación de la dispersión (o variabilidad) del parámetro en estudio (defoliación), entre las distintas muestras (parcelas).

La forma en que se reflejan estos factores es en el incremento del error esperable a medida que nos alejamos de los puntos estudiados. Se trata de un error que crece con la distancia, y lo hace en mayor medida, cuanto mayor es la varianza del parámetro estudiado.

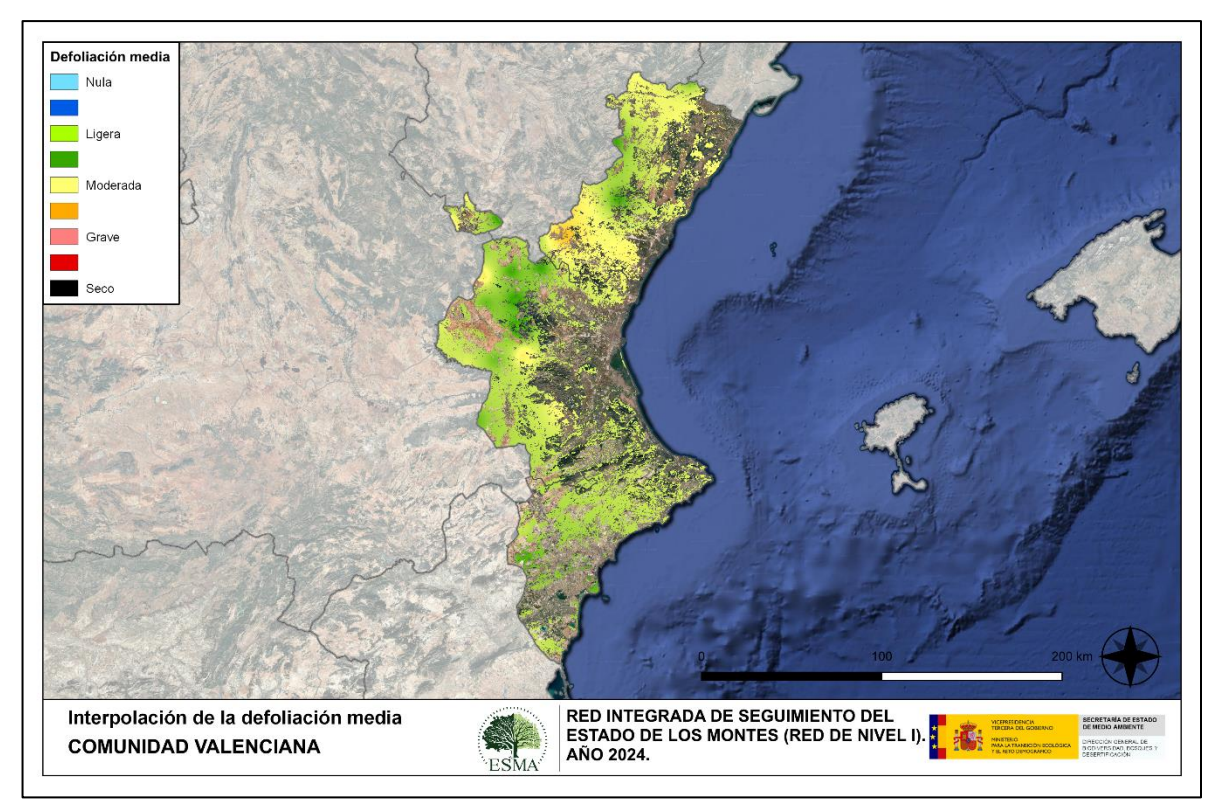
Del estudio de las muestras obtenidas se desprende que, para la variabilidad encontrada y la distancia entre estas, el error esperado hace que los valores obtenidos en una interpolación estadísticamente rigurosa no sean totalmente aceptables. A pesar de ello, se considera que la presentación de la defoliación en un mapa, interpolando los valores entre los puntos de muestreo, permite obtener una visión general de los valores que presenta la defoliación sobre el territorio. Así mismo, esta presentación facilita la localización de los puntos que muestran valores extremos.

El método de interpolación elegido ha sido el de peso inverso a distancia (IDW). Con este método se ha obtenido un mapa que, si bien no pretende predecir los valores de la defoliación fuera de los puntos de la Red, sí que quiere ser una aproximación de la distribución geográfica de los valores de este parámetro.





En el Mapa nº 4 se muestra la interpolación de la defoliación media 2024, según el modelo descrito, realizado sobre el mapa forestal. Este mapa se ha caracterizado atendiendo a las clases de defoliación establecidas en la Tabla nº 2.

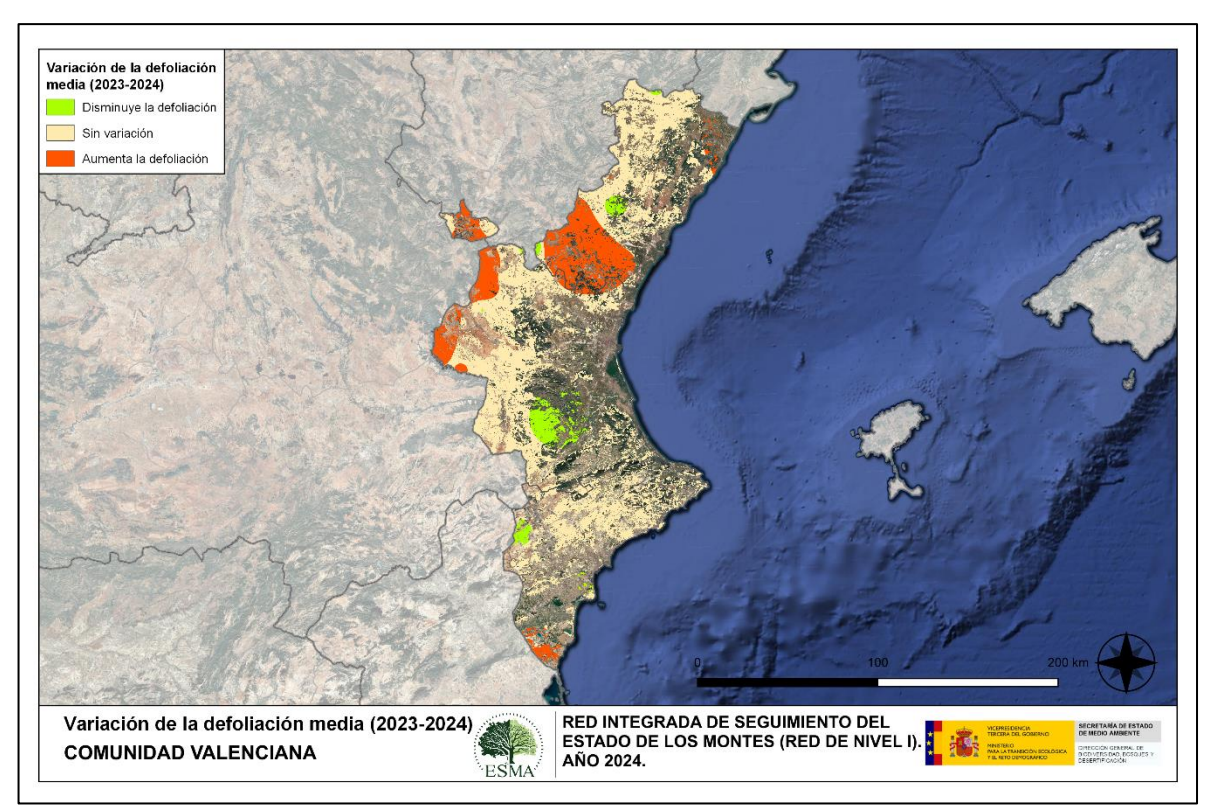


Mapa nº 4: Interpolación de la defoliación media para el año 2024.

Como se puede observar, la defoliación media registrada este año es "ligera" para el conjunto de la comunidad, percibiéndose en la Sierra del Espadán (Castelló) y en el sur de Valencia áreas con valores "moderados" del parámetro. En ambos casos, las defoliaciones se deben a los efectos del estrés hídrico; afectando a masas de alcornoque en el primer caso y a pinares de pino carrasco en el segundo.



En el Mapa nº 5 se muestra la variación de la defoliación media 2023-2024. En él aparecen reflejadas tres categorías distintas, atendiendo al incremento, disminución o invariabilidad de los valores de defoliación, observados entre las dos últimas temporadas. Así pues, la aparición de áreas rojas que presentan un incremento en la defoliación media no significa que en esas zonas los valores de este parámetro sean elevados o graves, sino que han sido al menos un 1% superiores a los observados en 2023.



Mapa nº 5: Variación de la defoliación media 2023-2024.

Como se puede apreciar, la defoliación media ha aumentado en zonas del territorio donde los efectos de la sequía se observan sobre diversas masas forestales, tanto de coníferas como de frondosas. Además, en los pinares de pino carrasco, hay que indicar que los daños producidos por la nieve en temporadas pasadas aún se mantienen, siendo frecuente la observación de ramas e incluso fustes rotos.

Por último, en masas artificiales de pino laricio (*Pinus nigra*) próximas a Barracas (Castelló), se observa un aumento de la defoliación media debido al incremento notablemente los daños ocasionados por el hongo *Cenangium ferruginosum* junto con las defoliaciones moderadas que ha ocasionado la procesionaria del pino (*Thaumetopoea pityocampa*).





6. ANÁLISIS DE LAS PRINCIPALES ESPECIES FORESTALES

En este apartado, se realiza un preciso análisis de las dos especies más abundantes que conforman la Red de Nivel I en la Comunitat Valenciana, seleccionando una conífera y una frondosa. En este caso se estudian el pino carrasco (*Pinus halepensis*) y el alcornoque (*Quercus suber*).

Para ambas especies se estudia la evolución de la defoliación media, fructificación por clases, abundancia de los grupos de agentes más observados y de la mortalidad provocada por estos últimos.

6.1. Pinus halepensis

La conífera con mayor representación en la Comunitat Valenciana es el *Pinus halepensis* y para esta especie se muestra en el Gráfico nº 13, la evolución de la defoliación media, a lo largo de los últimos 11 años.

La defoliación media observada a lo largo de este periodo se ha mantenido entre la clase "ligera" y los límites inferiores de la "moderada", detectando el valor mínimo (19,74%) el año 2021, mientras que el máximo registrado data del 2016 (27,25%).

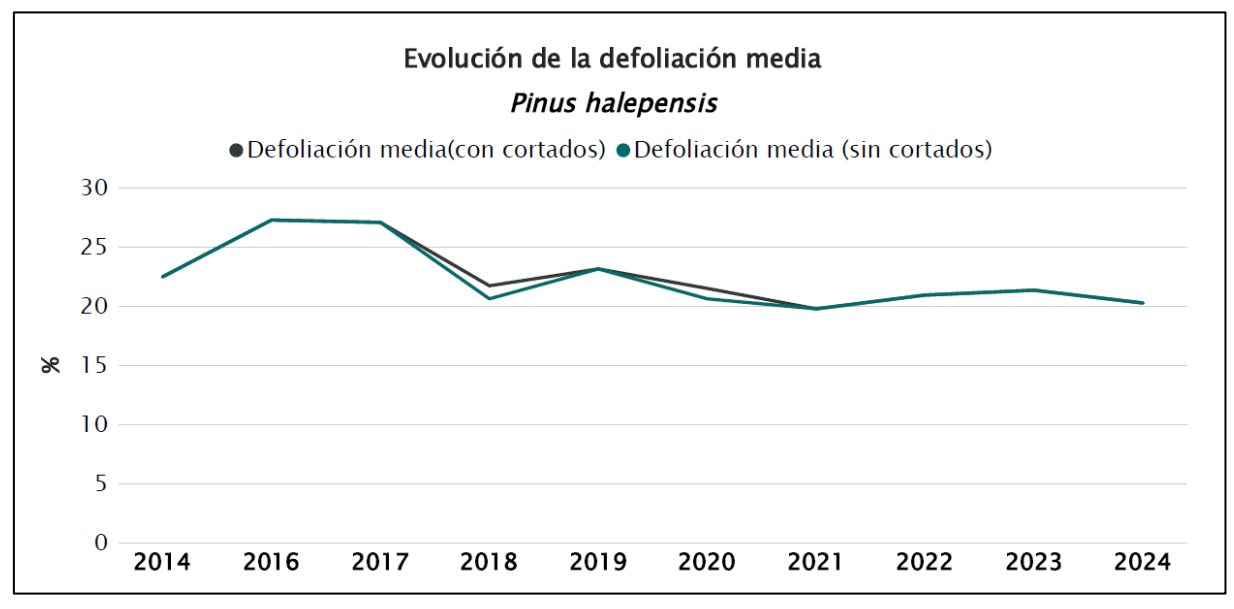


Gráfico nº 13: Evolución de la defoliación media en Pinus halepensis, 2014-2024.

Esta temporada la defoliación media ha sido del 20,23%, coincidiendo tanto si tenemos en cuenta los pies cortados como si no, ya que no se ha apeado ningún pino carrasco de la muestra en los últimos años.



En el Gráfico nº 14 se muestra la evolución de la fructificación expresada en las cuatro categorías establecidas y de forma acumulada por clases, según el número de pies clasificados en cada una de ellas, no considerando adecuado establecer valores medios de fructificación.

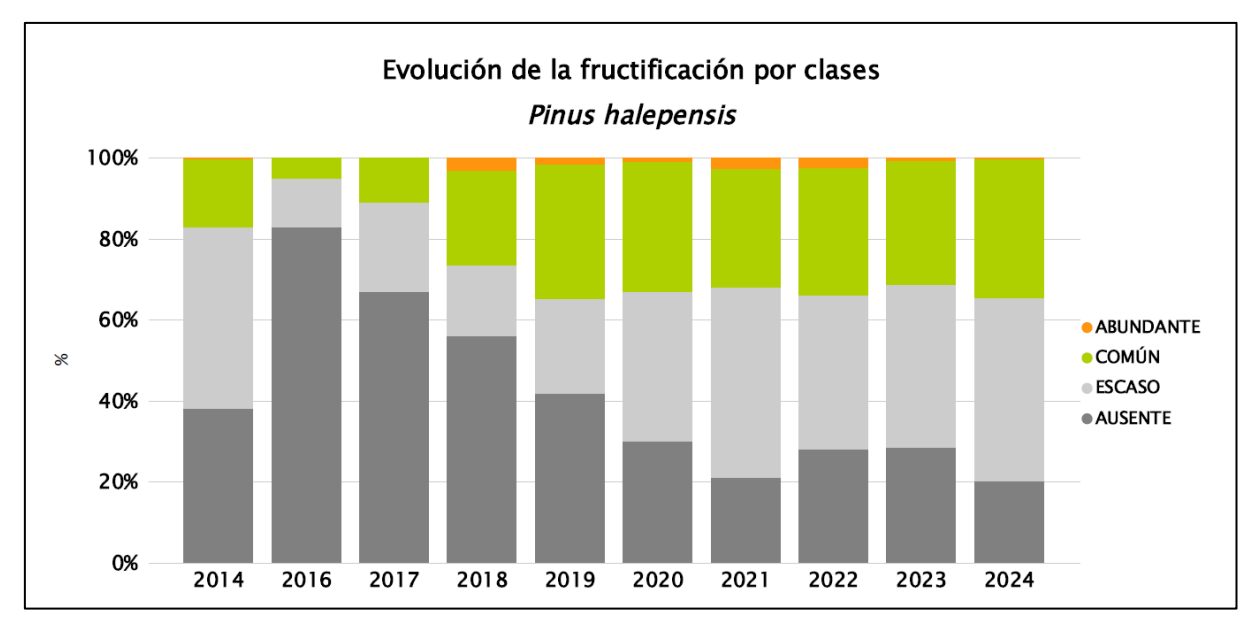


Gráfico nº 14: Evolución de la fructificación por clases en Pinus halepensis, 2014-2024.

Como se observa en el gráfico anterior, desde la temporada 2019 se viene detectando un nivel muy similar en la producción de piñas del pino carrasco.

Este año se detecta un ligero aumento con respecto al año anterior, detectándose en el 34,5% de los pinos carrascos una fructificación "Común" o "Abundante". El ascenso se produce en la clase "Común", mientras que en la clase "Abundante" se observa una disminución.



En el Gráfico nº 15, se muestra la relación de agentes dañinos que ha presentado el pino carrasco en el último año, indicando igualmente el número de pies afectados por cada uno de éstos.

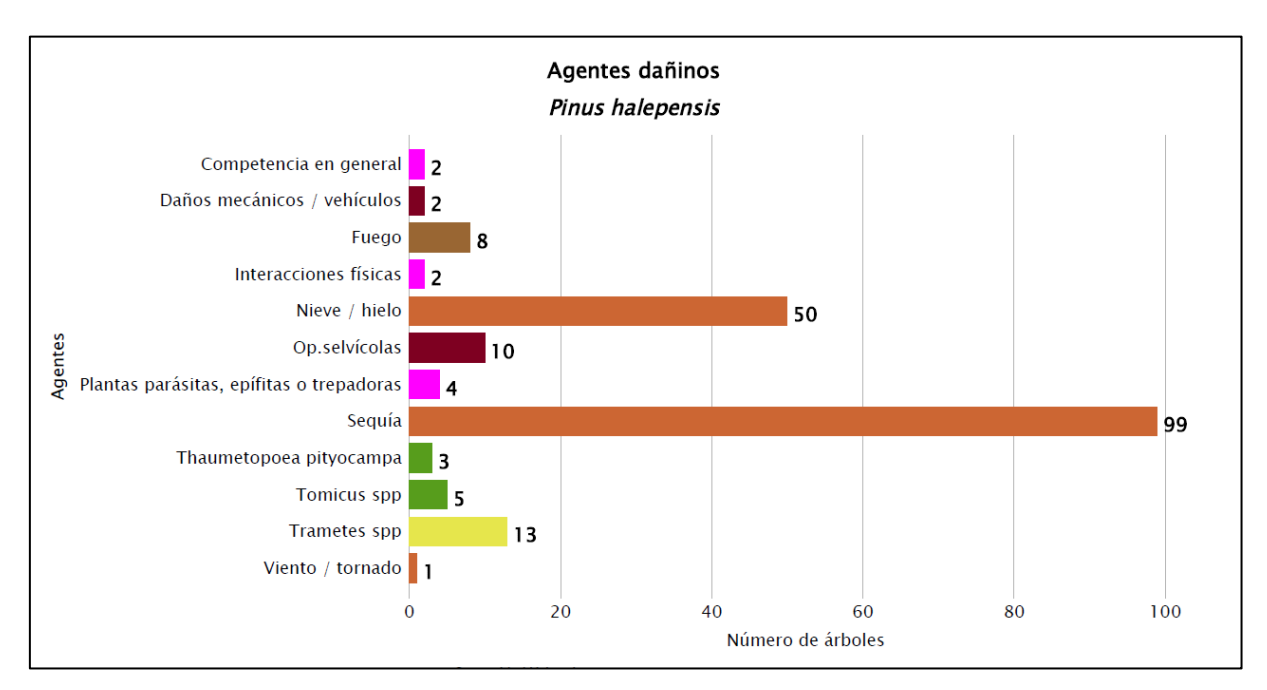


Gráfico nº 15: Agentes dañinos en Pinus halepensis en 2024.

La sequía es el agente más abundante en la presente temporada, afectando a 99 ejemplares, lo que supone el 27,12% de la población de pino carrasco muestreada.

El segundo agente en cuanto a abundancia que ha afectado a esta especie es la nieve, que ha afectado al 13,7% de los *Pinus halepensis*; si bien todas las roturas detectadas corresponden a daños antiguos. También resultan frecuentes los cuerpos de fructificación del hongo *Trametes* spp. sobre los fustes de algunos pinos, afectando al 3,56% de la población de esta especie.



En el Gráfico nº 16 se presenta la evolución de la abundancia de los grupos de agentes a lo largo de los últimos 11 años, para el *Pinus halepensis*.

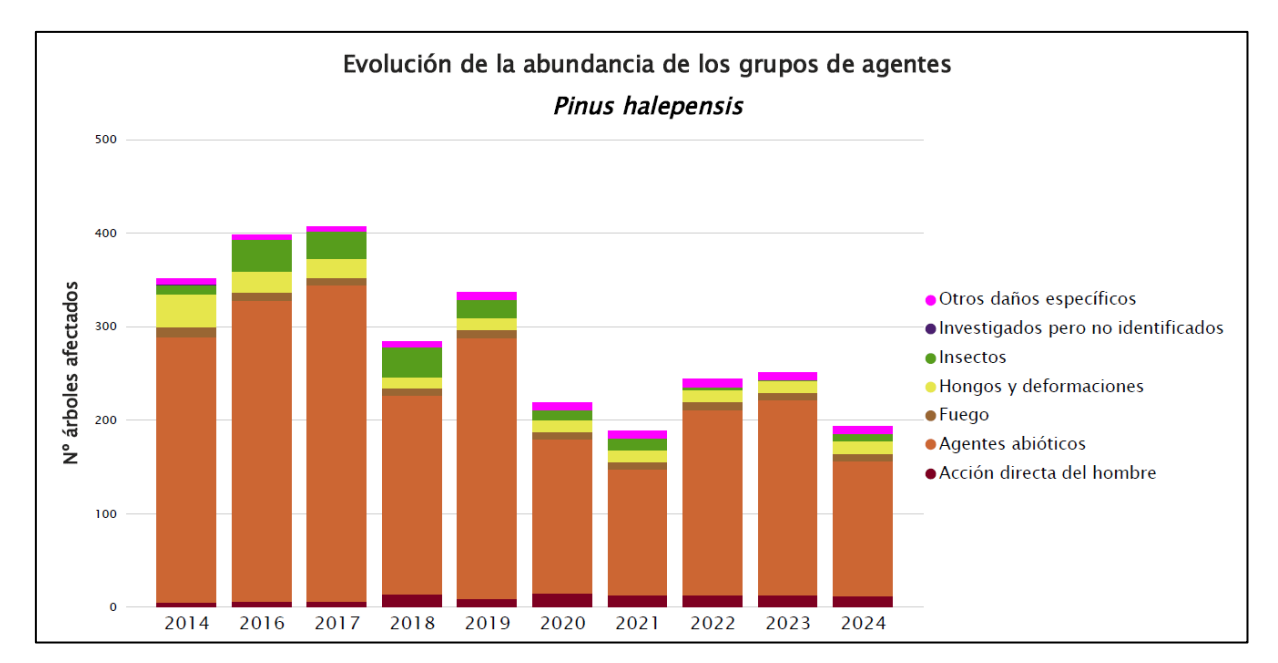


Gráfico nº 16: Evolución de la abundancia de los grupos de agentes en *Pinus halepensis*, 2014-2024.

Desde la temporada 2014 hasta 2017 se puede observar una tendencia ascendente en la cantidad de ejemplares afectados por alguno de los grupos de agentes, siendo 2017 el año con más pinos afectados. Este aumento de pies dañados está asociado al periodo de sequía ("Agentes abióticos"), sufrido a lo largo de los 3 primeros años de la serie; al igual que el repunte que se aprecia desde 2022.

En 2024 se observa un descenso del 23,11% de la cantidad de pinos afectados por alguno de los grupos de agentes, siendo el descenso en los síntomas causados por la sequía el principal agente que disminuye. Por otra parte, el grupo "Insectos" sí que experimenta un aumento, debido a los daños causados por *Thaumetopoea Pityocampa* y a los perforadores de la familia de los escolítidos.



En el Gráfico nº 17 se presenta la evolución de las causas de mortalidad que provocan los diversos grupos de agentes sobre *Pinus halepensis*.

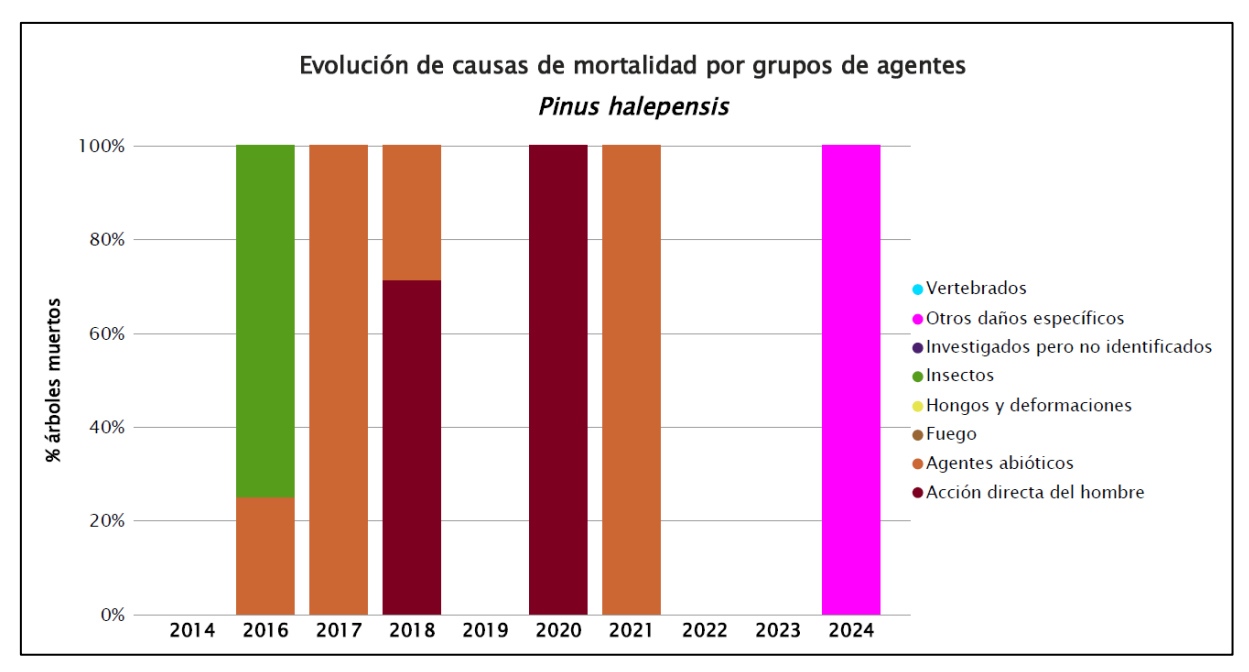


Gráfico nº 17: Evolución de las causas de mortalidad por los grupos de agentes en Pinus halepensis, 2014-2024.

Se puede apreciar que la causa más reiterada y relevante de muerte de pinos carrascos, a lo largo de los últimos 11 años, ha sido la corta de pies, calificada como "Acción directa del hombre"; así como los "Agentes abióticos", donde los efectos del estrés hídrico cobran especial relevancia. Esta temporada, se ha producido la muerte de un ejemplar debido a los efectos derivados de la competencia, que son incluidos en el grupo de agentes "Otros daños específicos".

Por último, se muestra una tabla resumen en la que aparece el número de *Pinus halepensis* muertos a lo largo de los últimos 11 años.

Año	2014	2015	2016	2017	2018	2019	2020	2021	2022	2023	2024
Pies muertos	0		8	4	7	0	4	3	0	0	1

Tabla nº 10: Pinus halepensis muertos por año.



6.2. Quercus suber

La frondosa con mayor representación en la Comunitat Valenciana es el alcornoque y para esta especie se muestra en el Gráfico nº 18, la evolución de la defoliación media, a lo largo de los últimos 11 años.

La defoliación media observada a lo largo de este periodo se ha mantenido dentro de la clase "moderada", desde el año 2014, observando el valor mínimo (25,42%) en el año 2023; mientras que el máximo registrado data de 2019 (44,38%), tanto con pies cortados, como sin ellos, ya que no se han cortado alcornoques a lo largo de la serie de estudio.

Este año, la defoliación media ha alcanzado el 26,46% y queda incluida en el límite inferior de la clase "moderada"; manteniendo niveles similares a los observados en los últimos años, pero rompiendo con la tendencia descendente del valor de este parámetro, observada desde 2019.

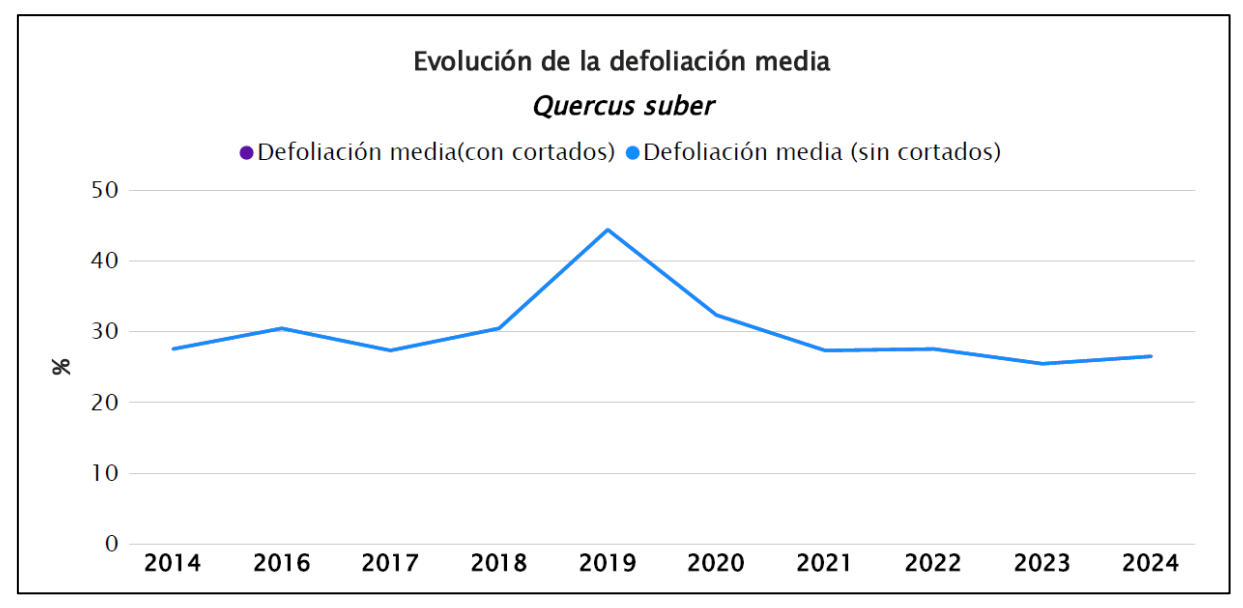


Gráfico nº 18: Evolución de la defoliación media en Quercus suber, 2014-2024.



En el Gráfico nº 19 se muestra la evolución de la fructificación expresada en las cuatro categorías establecidas y de forma acumulada por clases, según el número de pies clasificados en cada una de ellas, no considerando adecuado establecer valores medios de fructificación.

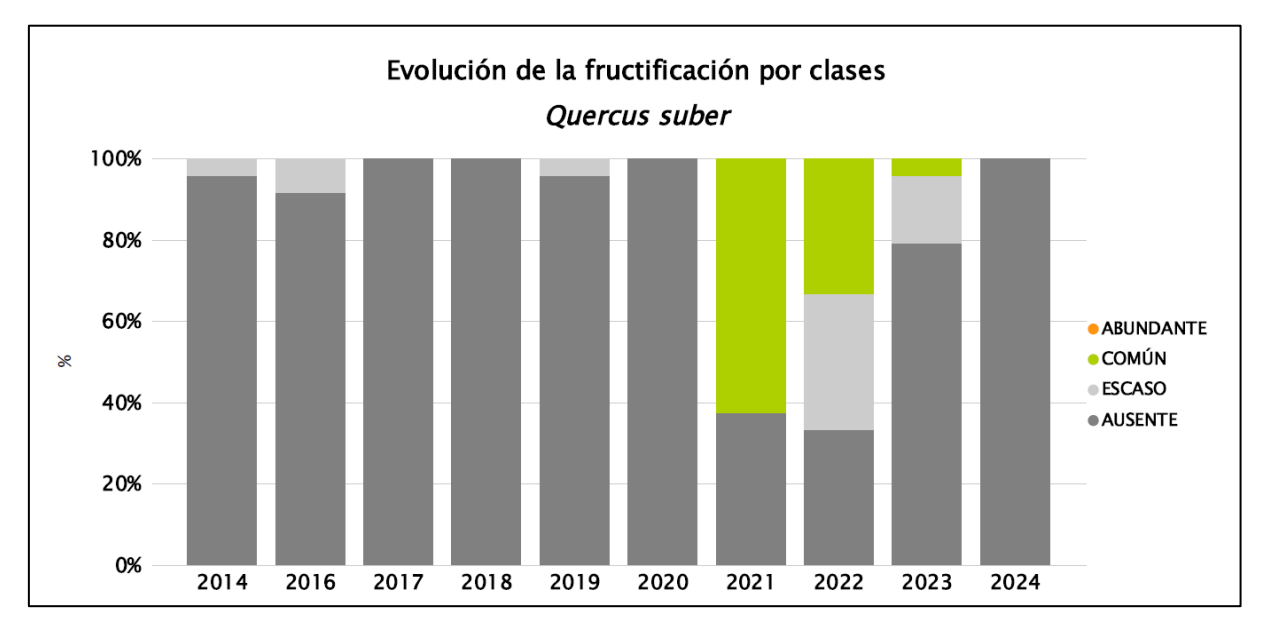


Gráfico nº 19: Evolución de la fructificación por clases en Quercus suber, 2014-2024.

Como se puede observar, hasta la temporada 2020 la fructificación ha resultado ausente o escasa en la totalidad de la población de alcornoque muestreada. El año 2021 se observó la mayor producción de bellota de toda la serie, descendiendo desde entonces.

Por otro lado, esta temporada se ha observado la ausencia total de la producción de bellotas, situándose todos los ejemplares de la muestra en la clase de fructificación "Ausente".



En el Gráfico nº 20 se muestra la relación de agentes dañinos que ha presentado el alcornoque en el último año, indicando igualmente el número de pies afectados por cada uno de éstos.

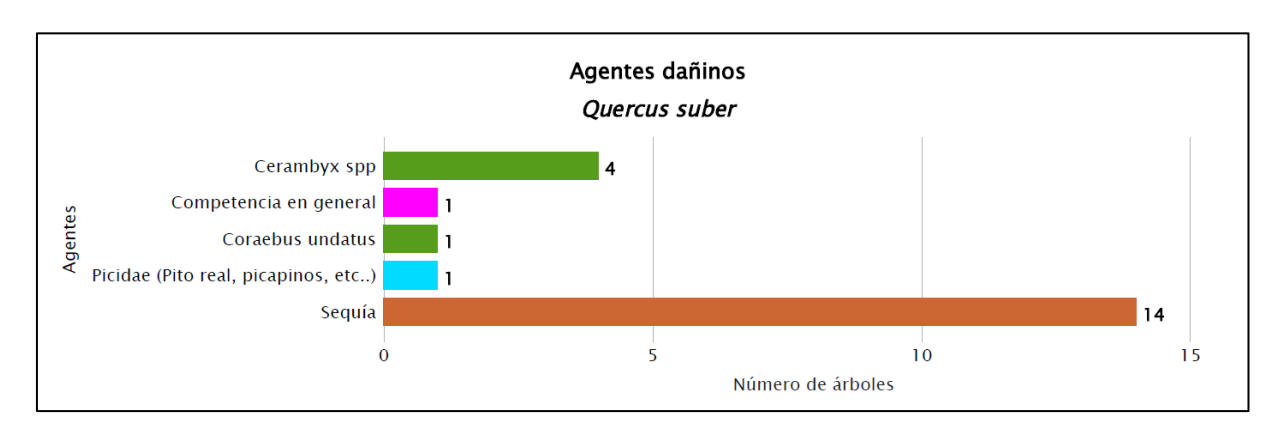


Gráfico nº 20: Agentes dañinos en Quercus suber en 2024.

La sequía es el agente más frecuente que causa daños sobre el alcornoque, afectando a 14 pies, lo que supone aproximadamente un 58% del total de ejemplares de la muestra.

Así mismo, algunos alcornoques presentan perforaciones de coleópteros pertenecientes al género *Cerambyx* spp.



En el Gráfico nº 21 se presenta la evolución de la abundancia de los grupos de agentes a lo largo de los últimos 11 años, pero en este caso sólo para el alcornoque.

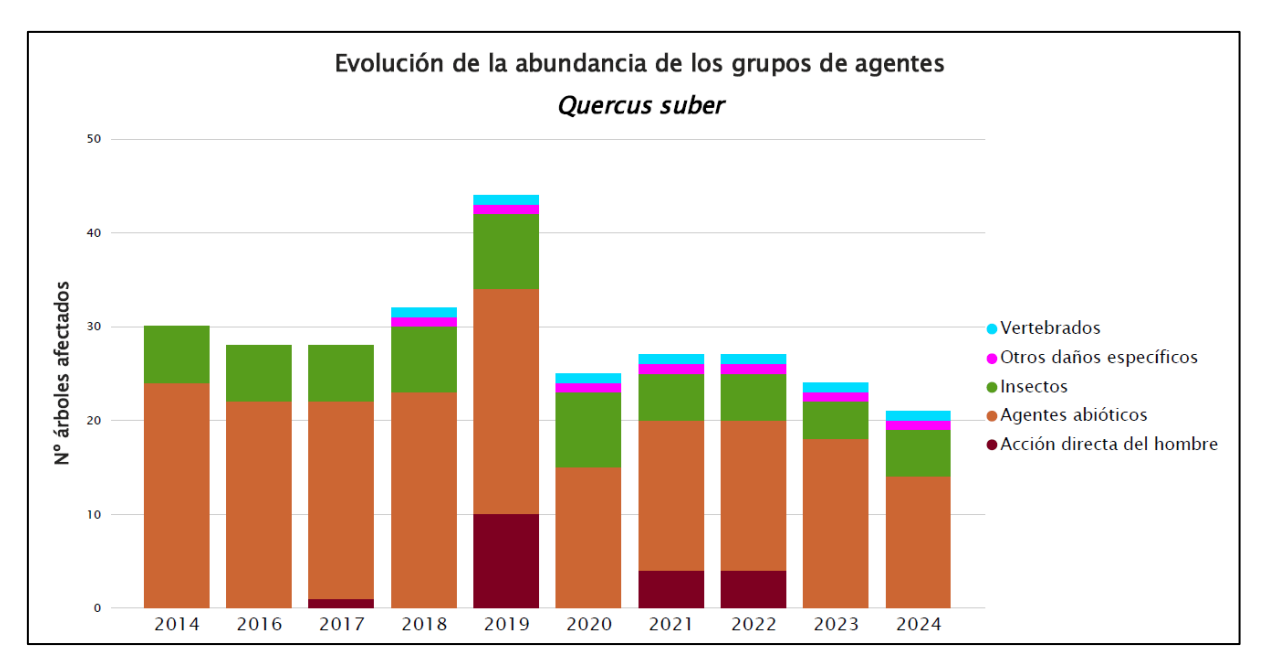


Gráfico nº 21: Evolución de la abundancia de los grupos de agentes en Quercus suber, 2014-2024.

Destacan los daños producidos por el grupo "Agentes abióticos", observados desde el inicio de la serie, hasta la actualidad; siendo la seguía el agente más relevante.

En la temporada actual se observa un descenso en la cantidad de alcornoques afectados por agentes, y aunque los "Agentes abióticos" son los principales causantes de daños sobre esta especie, disminuyen su abundancia en un 22% junto con "Insectos", que se reduce en otro 20%.

Por otra parte, se observa que en varios años aparece el grupo "Acción directa del hombre", donde el descorche es el agente fundamental.

El alcornoque no ha perdido ningún ejemplar de la muestra a lo largo de la serie de estudio y es por este motivo que no se muestra el gráfico correspondiente a la "Evolución de las causas de mortalidad" que provocan los diversos grupos de agentes, ni la "Tabla resumen con los ejemplares muertos" de esta especie.





7. PRINCIPALES DAÑOS DETECTADOS A LO LARGO DE LOS RECORRIDOS

En este apartado se recogen las observaciones de los equipos de campo, a lo largo de los recorridos que se realizan durante los trabajos de Adquisición de Información de la Red Integrada de Seguimiento del Estado de los Bosques, desarrollados en el verano de 2024, en la Comunitat Valenciana.

Para que la información quede estructurada de manera práctica y sencilla, se exponen los daños, agrupados según la masa forestal en la que aparecen.

7.1. Pinares

Aunque la primavera en el conjunto del territorio ha resultado muy seca, las copiosas precipitaciones registradas durante el inicio del verano han supuesto un gran alivio para los pinares de la comunidad.

En la temporada actual se ha producido un notable descenso en la cantidad de pinos afectados por daños abióticos, de este modo los daños ocasionados por el **estrés hídrico** han sido escasos; encontrando un crecimiento adecuado de los brotes y buen desarrollo posterior de las acículas del año.



Imagen nº 2: Correcto desarrollo de las acículas del año en P. halepensis.

Tan sólo se ha observado una ligera pérdida de biomasa foliar, en aquellos pies que vegetan en suelos con peores condiciones, fuertes pendientes y orientaciones a solana. En estas localizaciones se aprecia una pérdida prematura de las acículas de tercer año, siendo menos frecuente la observación de microfilia en las acículas del año.



Este tipo de daños se han encontrado en masas de pino carrasco (*Pinus halepensis*) en las proximidades de Elche y Villena (Alacant); en Lucena del Cid (Castelló) y en Andilla, Buñol, Calles, Chelva, Chiva, Cofrentes, Quesa, Requena, Siete Aguas y Utiel (Valencia).

Además, hay que indicar que los daños producidos por la **nieve** en enero del año 2021 (Borrasca Filomena), aún son visibles, siendo frecuente la observación de ramas e incluso fustes rotos en las masas más afectadas. Los principales daños se han encontrado en pinares próximos a El Pinós y Villena (Alacant) y en Andilla, Calles, Siete Aguas, Sinarcas y Utiel (Valencia).

Atendiendo a los agentes bióticos, hay que destacar las defoliaciones producidas el curculiónido **Brachyderes suturalis**. Este coleóptero se alimenta, al llegar al estado adulto, de las acículas dejando los bordes comidos, en forma de diente de sierra, al realizar roeduras prolongadas y separadas unas de otras en la acícula.

Si bien los daños producidos por este agente son de carácter ligero, ocasionalmente puede provocar defoliaciones importantes en pinos jóvenes de *Pinus sylvestris*, *P. pinaster* y *P. nigra*. En la presente temporada no se han encontrado defoliaciones en ninguno de los puntos observados.

La procesionaria del pino (*Thaumetopoea pityocampa*) ha ocasionado defoliaciones moderadas sobre pino laricio (*Pinus nigra*), en masas artificiales próximas a Barracas, en la carretera CV-341 en los alrededores de Andilla sobre ejemplares jóvenes y en la carretera CV-345 en el entorno de La Yesa. Además, en Vistabella del Maestrazgo a lo largo de la carretera CV-170, desde el límite con la provincia de Teruel y en la carretera CV-173 también se han observado defoliaciones moderadas sobre *P. sylvestris* y sobre *P. nigra*.



Imagen nº 3: Ejemplares jóvenes de Pinus halepensis defoliados por Thaumetopoea pityocampa Andilla (Valencia).

Respecto a los daños ocasionados por insectos perforadores, los **escolítidos** son una de las causas principales de mortalidad en los pinares de la comunidad. En la actual campaña, se han detectado daños de este tipo sobre *Pinus pinaster* en Sot de Chera, en la pista forestal de Los Calderones, en la



zona de Barracas, Gátora, Sierra del Espadán y en Serra (Valencia) y en la Carretera CV-190 Zucain (Castelló). Además, sobre *Pinus halepensis* se han observado daños ligeros en la subida al Puerto de Sumacárcer (Valencia) y en la autovía A-7 a la altura de Elche (Alacant). Los árboles afectados casi siempre son árboles debilitados previamente por otras causas.



Imagen nº 4: Ejemplares de Pinus pinaster muertos por escolítidos Calles (Valencia).

Con respecto a los agentes de origen fúngico, un hongo de acícula frecuente en los pinares de la Comunitat es *Thyriopsis halepensis*. Este patógeno es un activo defoliador de acículas de distintas edades, tanto de *Pinus halepensis* como de *P. pinea*, llegando a producir una notable pérdida de densidad foliar en las copas de los ejemplares afectados. En las últimas temporadas se viene detectando un descenso de los daños provocados por este hongo, habiéndose volviéndose a observar este año escasos daños en algunos pinares de pino carrasco del sureste de la Reserva Valenciana de Caza de Muela de Cortes (Valencia).

Otro de los agentes de origen fúngico que afectan a las masas de pino carrasco, es el hongo mitospórico *Sirococcus conigenus*. Este agente provoca la muerte masiva de brotes, del pie afectado, que adquieren un color pardo rojizo. Además, las acículas se quedan apuntando al suelo debido a la torsión de los braquiblastos que el hongo produce, tomando el brote una forma en bandera muy característica. Este daño afecta en un principio a las ramas más bajas, ascendiendo posteriormente hacia la parte superior de la copa. Otro síntoma provocado por este agente es la torsión de macroblastos, especialmente en pies jóvenes o ramas altas de pies adultos, adoptando los brotes forma de cayado, si bien estos síntomas pueden confundirse con estados de desarrollo de otros agentes nocivos como *Sphaeropsis sapinea* o *Melampsora pinitorqua*.

En la presente campaña no se han encontrado nuevos daños, tan solo se han observado daños antiguos sobre pino carrasco a lo largo de la CV-580 entre Bicorp y Muela de Cortes (Valencia).



Por otra parte, en el entorno de Barracas (Castelló), se han incrementado notablemente los daños ocasionados por el hongo *Cenangium ferruginosum*, afectando a masas artificiales de *Pinus nigra*. En estas zonas se ha observado que las copas de los pinos presentan zonas con todas las acículas pardo-rojizas, ocasionando un llamativo aspecto del pinar.



Imagen nº 5: Pinar de *Pinus nigra* con daños por *Cenagium ferruginosum* en Barracas (Valencia).

Por último, se comenta la presencia de basidiocarpos de *Trametes pini* en fustes de pino carrasco. Este hongo de pudrición no supone un problema sanitario serio en masas protectoras, ya que no mata a su hospedante, siendo más preocupante su presencia en las destinadas a fines productivos debido a la devaluación de la calidad de la madera que ocasiona al producir la degradación de la lignina. Este año se ha detectado la presencia puntual de este agente en algunas masas adultas de *Pinus halepensis* en los términos de Buñol, Chiva, Quesa y Requena (Valencia).



Imagen nº 6: Basidiocarpo de Trametes pini.





El **muérdago** (*Viscum album* subsp. *austriacum*) es otro agente que se observa con frecuencia en las masas de pinar, siendo las de pino laricio (*P. nigra*), de la provincia de Castelló, en las que se ha detectado mayor incidencia de esta planta hemiparásita.

Provoca el debilitamiento de los pies colonizados, lo que favorece la entrada de otros agentes patógenos, llegando a ocasionar incluso la muerte del árbol cuando aparece en grandes cantidades. La proliferación de esta hemiparásita, que representa un grave problema sanitario en amplias zonas de pinar, se ve favorecida por la presencia del zorzal charlo (*Turdus viscivorus*), voraz consumidor de sus bayas. Estas aves, al posarse sobre nuevos árboles, depositan en ellos por medio de los excrementos las semillas de las bayas, propagando así a este agente nocivo en nuevas áreas. En la presente campaña los principales daños se han detectado sobre pinos laricios (*Pinus nigra*) y silvestres (*P. sylvestris*) a lo largo de la CV-170 cerca de Vistabella del Maestrazgo (Castelló); si bien resultan escasos y puntuales.



Imagen nº 7: Daños de muérdago sobre P. nigra. Al fondo pies muertos por escolítidos debilitados previamente por muérdago.



7.2. Encinares y alcornocales

Las escasas precipitaciones durante el final del periodo estival, juntos a las altas temperaturas ha provocado importantes daños por **estrés hídrico** en algunas masas de *Quercus* de la comunidad, causando principalmente una pérdida prematura de hoja.

Los principales daños se han observado sobre alcornoques Artana y en la Sierra Calderona y sobre encinas en Vistabella del Maestrazgo (Castelló).



Imagen nº 8: Alcornocal dañado por estrés hídrico en la Sierra Calderona (Valencia).

Con respecto a los agentes de origen biótico, el que con mayor frecuencia se observa causando daños es el bupréstido perforador *Coraebus florentinus*. Este coleóptero produce la muerte de ramas y ramillos de diferentes especies del género *Quercus* mediante su anillamiento al realizar las larvas, de costumbres xilófagas, galerías en la parte más externa del xilema. De esta forma, a mediados de la primavera se comienza a observar, en las ramas afectadas, como las hojas adquieren una tonalidad anaranjada que con el transcurso de las semanas tornará a rojo oscuro para finalmente tirar la hoja y quedarse la rama afectada desnuda, pudiendo permanecer así en el árbol durante varios años.

Como en años anteriores, los daños producidos por este coleóptero han sido especialmente significativos en encinares localizados en la comarca de Els Ports, en el Puerto de Querol (Castelló).

Se han observado daños puntuales de carácter moderado, sobre alcornoques (*Quercus suber*) en las proximidades de Artana (Castelló), a causa del cerambícido perforador *Cerambyx* spp.

Por otro lado, el himenóptero *Crematogaster scutellaris* sigue apareciendo en alcornocales en el entorno de Artana (Castelló), aunque no ocasiona problemas de consideración. En realidad, esta



hormiga, no supone un serio problema para la salud del arbolado. La importancia de su estudio reside en los daños que ocasiona en la industria corchera, ya que devalúa la calidad del corcho al desarrollar sus colonias en su interior, practicando numerosas galerías y cámaras a lo largo de todo su espesor.

Con respecto a los daños de origen fúngico, el más abundante es el provocado por el hongo *Taphrina kruchii,* responsable de la formación en encinas y, en menor medida alcornoques, de unas deformaciones conocidas como "escobas de bruja". Estas malformaciones se generan debido a la estimulación que produce el hongo en las yemas durmientes de las ramas infectadas. Esto provoca un masivo desarrollo de ramillos cortos, más gruesos y erectos de lo normal, con abundantes hojas que suelen caer de manera prematura, dejando a la vista los ramillos.

Los daños más significativos sobre encinas, a causa de este agente, han sido los observados en la comarca del Alto Vinalopó y en el Puerto de la Carrasqueta (Alacant), en el Maestrazgo castellonense y en Andilla y en La Pobleta (Valencia).



Imagen nº 9: Hojas cloróticas en ramillo afectado por Taphrina kruchii.





7.3. Otras especies

Como viene siendo habitual año tras año, las alineaciones de olmos (*Ulmus minor*) que bordean carreteras y arroyos de la comunidad, sufren de manera generalizada el mal de la grafiosis (*Ophiostoma novo-ulmi*). Esta enfermedad vascular ocasiona la muerte de la parte aérea de la planta, siendo visible en verano al producirse la marchitez foliar del pie afectado, debido a la trombosis que este patógeno causa en los vasos del xilema.

Este patógeno ha causado importantes daños en chirpiales de olmo por toda la comunidad, como se ha podido comprobar en amplias zonas del Maestrazgo castellonense y en la carretera N-330 desde Almansa hasta Requena, en la CV-580 entre Navarrés y Quesa y a lo largo de la N-322 desde Los Isidros hasta Requena y en la N-330 desde La Portera a Requena (Valencia).



Imagen nº 10: Chirpiales de *Ulmus minor* afectado por grafiosis.

El enebro de la miera (Juniperus oxycedrus), es una especie frecuente formando el sotobosque en los

pinares. Dentro de los agentes de origen biótico, el daño más significativo es el que le produce el hongo *Gymnosporangium* spp., que produce la muerte del ramillo infectado como consecuencia del cancro que genera en el mismo, adquiriendo las acículas al principio del verano un color atabacado.



Imagen nº 11: *Juniperus oxycedrus* con daños por *Gymnosporangium* spp





Los principales daños ocasionados por este agente se detectan en la zona norte de Castelló, principalmente en las comarcas de Els Ports y del Baix Maestrat.

Otro agente que con cierta frecuencia se observa afectando a los ejemplares de enebro de la miera es el muérdago enano (*Arceuthobium oxycedri*). Esta planta hemiparásita causa un debilitamiento generalizado de los enebros que, junto con situaciones de intenso estrés hídrico, puede dar lugar a la muerte del individuo infectado. Al igual que en años anteriores, las principales infestaciones de muérdago enano se han encontrado en el entorno de Cinctorres (Castelló).



Imagen nº 12: Mata de muérdago enano (Arceuthobium oxycedri) sobre ramillo de Juniperus oxycedrus.





8. FORMULARIOS ICP

En este capítulo se presentan los resultados de los valores de la defoliación clasificados por: grupos de coníferas y frondosas, especies principales, y edades; todo relativo a la distribución catalogada según los valores de la defoliación.

En concreto las tablas presentadas son:

- **Formulario T**₁₊₂₊₃. Se compone de 2 tablas, una con los resultados absolutos y otra con los resultados relativos (%), diferenciando entre coníferas y frondosas, y especies principales, pero sin discriminar por edad, solo en el total de pies muestreados.
- **Formulario 4b.** Resultados absolutos y relativos (%) para coníferas y frondosas, junto con las especies principales clasificadas por edad.
- **Formulario C.** Resultados absolutos y relativos (%), para el total de parcelas y árboles muestreados.





8.1. Formulario T₁₊₂₊₃

FORMULARIO T1+2+9

Comunidad Valenciana

Total de daños forestales desglosados por especies según la defoliación

CLASIFICACIÓ)N			cor	ÚFERAS					FRON	DOSAS				L DE TOD	
(1)	(2)	(3)	(4)	(5)	(6)	(7)	(8)	(9)	(10)	(11)	(12)	(13)	(14)	(15)	(16)	(17)
Especies		125	129	130	131	134	Otras	017	020	046	050	054	Otras	< 60 Años	≧60 Años	Total
					ARBO	LES CON	DEFOLL	ACIÓN								
Tipo de defoliación	Porcentaje de defoliación															
0: No defoliado	0-10	12	2	5	0	0	0	0	0	0	0	1	1	9	12	21
1: Ligeramente defoliado	11-25	315	11	7	0	0	0	0	0	20	0	13	3	164	205	369
2: Moderadamente defoliado	26-60	37	8	0	0	0	0	0	0	1	0	10	0	41	15	56
3: Gravemente defoliado	>60	0	5	0	0	0	0	0	0	0	0	0	0	4	1	5
4: Seco o desaparecido		1	1	3	0	0	0	0	0	0	0	0	0	5	0	5

Comunidad Valenciana

FORMULARIO T1+2+9

Total de daños forestales desglosados por especies según la defoliación

CLASIFICACIÓ	DΝ			CON	MFERAS					FRON	DOSAS			TOTAL DE TODAS LAS ESPECIES			
(1)	(2)	(3)	(4)	(5)	(6)	Ø	(8)	(9)	(10)	(11)	(12)	(13)	(14)	(15)	(16)	(17)	
Especies		125	129	130	131	134	Otras	017	020	046	050	054	Otras	< 60 Años	≧60 Años	Total	
				PORG	CENTAJE	DE ARBO	LES CON	DEFOLIA	CIÓN								
Tipo de defoliación	Porcentaje de defoliación	%	%	%	%	%	%	%	%	%	%	%	%	%	%	%	
0: No defoliado	0-10	3,29	7,41	33,33	0,00	0,00	0,00	0,00	0,00	0,00	0,00	4,17	25,00	4,04	5,15	4,61	
1: Ligeramente defoliado	11-25	86,30	40,74	46,67	0,00	0,00	0,00	0,00	0,00	95,24	0,00	54,17	75,00	73,54	87,98	80,92	
2: Moderadamente defoliado	26-60	10,14	29,63	0,00	0,00	0,00	0,00	0,00	0,00	4,76	0,00	41,67	0,00	18,39	6,44	12,28	
3: Gravemente defoliado	>60	0,00	18,52	0,00	0,00	0,00	0,00	0,00	0,00	0,00	0,00	0,00	0,00	1,79	0,43	1,10	
4: Seco o desaparecido		0,27	3,70	20,00	0,00	0,00	0,00	0,00	0,00	0,00	0,00	0,00	0,00	2,24	0,00	1,10	





8.2. Formularios 4b

Formulario 4b

INFORME ANUAL SOBRE LA SITUACIÓN DE LAS PRINCIPALES ESPECIES EN LO QUE RESPECTA A LOS DAÑOS (complétese para cada región y para la totalidad del país)

Coniferas	
Defoliación	

País:	ESPAÑA	
Región:	Comunidad Valenciana	
riodo del muestreo:	Del 19 de junio al 04 de julio de 2024	

Clasifie	anai án							Árboles	defoliados							Edad	Total
Clasific	acion			árbole	s de hasta	60 años					árbol	es de 60 a	ños o más			Indefinida	General
1	2	3	4	5	6	7	8	9	10	11	12	13	14	15	16	17	9+16+17
Especies (código)	125	129	130	131	134	Otros	Total	125	129	130	131	134	Otros	Total		
Superficie total ocu	apada por la																
Nº de árboles tipo		172	19	12	0	0	0	203	193	8	3	0	0	0	204		407
0	0-10	3	1	5	0	0	0	9	9	1	0	0	0	0	10		19
1	11-25	136	6	4	0	0	0	146	179	5	3	0	0	0	187		333
2	26-60	32	7	0	0	0	0	39	5	1	0	0	0	0	6		45
3	>60	0	4	0	0	0	0	4	0	1	0	0	0	0	1		5
4	Seco	1	1	3	0	0	0	5	0	0	0	0	0	0	0		5

Observaciones

Formulario 4

INFORME ANUAL SOBRE LA SITUACIÓN DE LAS PRINCIPALES ESPECIES EN LO QUE RESPECTA A LOS DAÑOS (complétese para cada región y para la totalidad del país)

Coniferas
Defoliación

País:	ESPAÑA	
Región:	Comunidad Valenciana	
riodo del muestreo:	Del 19 de junio al 04 de julio de 2024	

Clasifi	nación						Porc	entaje de á	rboles defo	liados						Edad	Total
Clasili	Cacioni			árbole	s de hasta	60 años					árbol	es de 60 ai	ños o más			Indefinida	General
1	2	3	4	5	6	7	8	9	10	11	12	13	14	15	16	17	9+16+17
Especies (código)	125	129	130	131	134	Otros	Total	125	129	130	131	134	Otros	Total		
Superficie total ocu especie (Km) ²	apada por la																
% de árboles tipo		84,73	9,36	5,91	0,00	0,00	0,00	49,88	94,61	3,92	1,47	0,00	0,00	0,00	50,12		100,00
		%	%	%	%	%	%	%	%	%	%	%	%	%	%	%	%
0	0-10	1,74	5,26	41,67	0,00	0,00	0,00	4,43	4,66	12,50	0,00	0,00	0,00	0,00	4,90		4,67
1	11-25	79,07	31,58	33,33	0,00	0,00	0,00	71,92	92,75	62,50	100,00	0,00	0,00	0,00	91,67		81,82
2	26-60	18,60	36,84	0,00	0,00	0,00	0,00	19,21	2,59	12,50	0,00	0,00	0,00	0,00	2,94		11,06
3	>60	0,00	21,05	0,00	0,00	0,00	0,00	1,97	0,00	12,50	0,00	0,00	0,00	0,00	0,49		1,23
4	Seco	0,58	5,26	25,00	0,00	0,00	0,00	2,46	0,00	0,00	0,00	0,00	0,00	0,00	0,00		1,23
		100	100	100	100	100	100	100	100	100	100	100	100	100	100	100	100

Observaciones



RED INTEGRADA DE SEGUIMIENTO DEL ESTADO DE LOS BOSQUES: RED DE NIVEL I. AÑO 2024



Formulario 4

INFORME ANUAL SOBRE LA SITUACIÓN DE LAS PRINCIPALES ESPECIES EN LO QUE RESPECTA A LOS DAÑOS (complétese para cada región y para la totalidad del país)

Frondosas	
Defoliación	

Pais:	ESPANA	
Región:	Comunidad Valenciana	
riodo del muestreo:	Del 19 de junio al 04 de julio de 2024	

Clasifi	onoi én							Árboles	defoliados							Edad	Total
Clasili	cacion			árbole	s de hasta	60 años					árbol	es de 60 ai	ios o más			Indefinida	General
1	2	3	4	5	6	7	8	9	10	11	12	13	14	15	16	17	9+16+17
Especies (código)	017	020	046	050	054	Otros	Total	017	020	046	050	054	Otros	Total		
Superficie total ocu	apada por la																
Nº de árboles tipo		0	0	17	0	3	0	20	0	0	4	0	21	4	29		49
0	0-10	0	0	0	0	0	0	0	0	0	0	0	1	1	2		2
1	11-25	0	0	16	0	2	0	18	0	0	4	0	11	3	18		36
2	26-60	0	0	1	0	1	0	2	0	0	0	0	9	0	9		11
3	>60	0	0	0	0	0	0	0	0	0	0	0	0	0	0		0
4	Seco	0	0	0	0	0	0	0	0	0	0	0	0	0	0		0

Observaciones

Formulario 4b

INFORME ANUAL SOBRE LA SITUACIÓN DE LAS PRINCIPALES ESPECIES EN LO QUE RESPECTA A LOS DAÑOS (complétese para cada región y para la totalidad del país)

Frondosas
Defoliación

País:	ESPAÑA	
Región:	Comunidad Valenciana	
Periodo del		
muestreo:	Del 19 de junio al 04 de julio de 2024	

clis.		Porcentaje de árboles defoliados										Edad Indefinida	Total General				
Clasificación		árboles de hasta 60 años					árboles de 60 años o más										
1	2	3	4	5	6	7	8	9	10	11	12	13	14	15	16	17	9+16+17
Especies (código)	017	020	046	050	054	Otros	Total	017	020	046	050	054	Otros	Total		
Superficie total ocu especie (Km) ²	pada por la																
% de árboles tipo		0,00	0,00	85,00	0,00	15,00	0,00	40,82	0,00	0,00	13,79	0,00	72,41	13,79	59,18		100,00
		%	%	%	%	%	%	%	%	%	%	%	%	%	%	%	%
0	0-10	0,00	0,00	0,00	0,00	0,00	0,00	0,00	0,00	0,00	0,00	0,00	4,76	25,00	6,90		4,08
1	11-25	0,00	0,00	94,12	0,00	66,67	0,00	90,00	0,00	0,00	100,00	0,00	52,38	75,00	62,07		73,47
2	26-60	0,00	0,00	5,88	0,00	33,33	0,00	10,00	0,00	0,00	0,00	0,00	42,86	0,00	31,03		22,45
3	>60	0,00	0,00	0,00	0,00	0,00	0,00	0,00	0,00	0,00	0,00	0,00	0,00	0,00	0,00		0,00
4	Seco	0,00	0,00	0,00	0,00	0,00	0,00	0,00	0,00	0,00	0,00	0,00	0,00	0,00	0,00		0,00
		100	100	100	100	100	100	100	100	100	100	100	100	100	100		100

Observaciones





8.3. Formulario C

Convention on Long-Range Transboundary Air Pollution

International Cooperative Programme on Assessment and Monitoring of Air Pollution Effects on Forest

Región: Comunidad Valenciana

SURVEY 2024

Todas las especies

Todas las especies / Distribución en clases de 10% / Formulario C

Nº de puntos	Nº de árboles muestreados	Árboles defoliados								
muestreados		Clase 0 Ninguna	Clase 1 Ligera	Clase 2 Moderada	Clase 3 Grave	Clase 4 Seco o desaparecido	Clase 2+3+4 Moderada a seco	Clase 1+2+3+4 Ligera a seco		
19	456	21	369	56	5	5	66	435		

Convention on Long-Range Transboundary Air Pollution

$International\ Cooperative\ Programme\ on\ Assessment\ and\ Monitoring\ of\ Air\ Pollution\ Effects\ on\ Forest$

Región: Comunidad Valenciana

SURVEY 2024

Todas las especies

Todas las especies / Distribución en clases de 10% / Formulario C

Nº de puntos	Nº de árboles muestreados	% de árboles defoliados								
muestreados		Clase 0 Ninguna	Clase 1 Ligera	Clase 2 Moderada	Clase 3 Grave	Clase 4 Seco o desaparecido	Clase 2+3+4 Moderada a seco	Clase 1+2+3+4 Ligera a seco		
19	456	4,61	80,92	12,28	1,10	1,10	14,47	95,39		





Índice de Gráficos

Grafico nº 1: Distribución de los puntos de muestreo por provincias.	2
Gráfico nº 2: Distribución de los puntos de muestreo según tipo de masa forestal	3
Gráfico nº 3: Distribución por especies de los pies que componen la muestra	4
Gráfico nº 4: Defoliación media por especie en 2024.	7
Gráfico nº 5: Distribución de la defoliación por clases para las principales especies en 2024	8
Gráfico nº 6: Evolución de la defoliación media en coníferas con pies cortados	10
Gráfico nº 7: Evolución de la defoliación media en frondosas con pies cortados	10
Gráfico nº 8: Fructificación por clases y especies en 2024	11
Gráfico nº 9: Distribución de los grupos de agentes.	13
Gráfico nº 10: Abundancia de los subgrupos de agentes en 2024	14
Gráfico nº 11: Evolución de la abundancia de los grupos de agentes, 2014-2024	16
Gráfico nº 12: Evolución de las causas de mortalidad por los grupos de agentes, 2014-2024	17
Gráfico nº 13: Evolución de la defoliación media en <i>Pinus halepensis</i> , 2014-2024	24
Gráfico nº 14: Evolución de la fructificación por clases en <i>Pinus halepensis</i> , 2014-2024	25
Gráfico nº 15: Agentes dañinos en <i>Pinus halepensis</i> en 2024.	26
Gráfico nº 16: Evolución de la abundancia de los grupos de agentes en Pinus halepensis, 2014-20	24.27
Gráfico nº 17: Evolución de las causas de mortalidad por los grupos de agentes en Pinus haleper	nsis,
2014-2024	28
Gráfico nº 18: Evolución de la defoliación media en Quercus suber, 2014-2024	29
Gráfico nº 19: Evolución de la fructificación por clases en Quercus suber, 2014-2024	30
Gráfico nº 20: Agentes dañinos en Quercus suber en 2024.	31
Gráfico nº 21: Evolución de la abundancia de los grupos de agentes en Quercus suber, 2014-2024	. 32





Índice de Imágenes

Imagen nº 1: Antiguas terrazas en la zona de Vistabella del Maestrazgo (Castelló)	20
Imagen nº 2: Correcto desarrollo de las acículas del año en P. halepensis	33
Imagen nº 3: Ejemplares jóvenes de Pinus halepensis defoliados por Thaumetopoea pityo	эсатра
Andilla (Valencia)	34
Imagen nº 4: Ejemplares de <i>Pinus pinaster</i> muertos por escolítidos Calles (Valencia)	35
Imagen nº 5: Pinar de <i>Pinus nigra</i> con daños por <i>Cenagium ferruginosum</i> en Barracas (Valencia	a)36
Imagen nº 6: Basidiocarpo de <i>Trametes pini</i>	36
Imagen nº 7: Daños de muérdago sobre P. nigra. Al fondo pies muertos por escolítidos deb	oilitados
previamente por muérdago.	37
Imagen nº 8: Alcornocal dañado por estrés hídrico en la Sierra Calderona (Valencia)	38
Imagen nº 9: Hojas cloróticas en ramillo afectado por <i>Taphrina kruchii</i>	39
Imagen nº 10: Chirpiales de <i>Ulmus minor</i> afectado por grafiosis	40
Imagen nº 11: Juniperus oxycedrus con daños por Gymnosporangium spp	40
Imagen nº 12: Mata de muérdago enano (Arceuthobium oxycedri) sobre ramillo de Ju	niperus
oxycedrus	41





Índice de Mapas

Mapa nº 1: Distribución de los puntos de muestreo	1
Mapa nº 2: Distribución de las principales especies forestales en los puntos de muestreo	5
Mapa nº 3: Distribución de los puntos de muestreo, según las clases de defoliación observada	as en
2024	9
Mapa nº 4: Interpolación de la defoliación media para el año 2024	22
Mapa nº 5: Variación de la defoliación media 2023-2024	23





Índice de Tablas

Tabla no 1: Especies forestales	4
Tabla nº 2: Especies forestales con representación inferior al 1%	5
Tabla nº 3: Clases de defoliación	6
Tabla nº 4: Evolución de la defoliación media	9
Tabla nº 5: Clases de fructificación	11
Tabla nº 6: Vínculos a los mapas de presencia de los subgrupos de agentes	12
Tabla nº 7: Relación de agentes por número de pies y parcela detectados en 2024	15
Tabla nº 8: Árboles muertos por año	17
Tabla nº 9: Vínculos a los mapas de distribución de los subgrupos de agentes	18
Tabla nº 10: <i>Pinus halepensis</i> muertos por año	28





ANEXO CARTOGRÁFICO

En este Anexo se incluyen los mapas realizados en el proyecto, a partir de los resultados obtenidos en la revisión de la Red Integrada de Seguimiento de los Bosques (Red de Nivel I) para la campaña de 2024.

La cartografía, en este Anexo, se presenta a nivel nacional, con la siguiente relación de mapas:

Mapas de Presentación de las parcelas de la Red

- Numeración de parcelas.
- Tipo de masa.
- Especies forestales.
- Distribución de las especies principales y tipos de masa en las comunidades autónomas.

Mapas de los Parámetros de Referencia

- Clases de defoliación.
- Interpolación de la defoliación media.
- Interpolación de la variación de la defoliación media 2023-2024.

Mapas de Presencia de los Subgrupos de Agentes en las parcelas de la Red

- Insectos defoliadores y minadores.
- Insectos perforadores.
- Insectos chupadores y gallícolas.
- Hongos de acículas, brotes y tronco.
- Hongos de pudrición.
- Hongos en hojas planas.
- Sequía.
- Granizo, nieve y viento.
- Acción directa del hombre.
- Fuego.
- Plantas parásitas, epífitas y trepadoras.
- Competencia.





Mapas de Distribución de los Subgrupos de Agentes en las parcelas de la Red

- Insectos defoliadores y minadores.
- Insectos perforadores.
- Insectos chupadores y gallícolas.
- Hongos de acículas, brotes y tronco.
- Hongos de pudrición.
- Hongos de hojas planas.
- Sequía.
- Granizo, nieve y viento.
- Acción directa del hombre.
- Fuego.
- Plantas parásitas, epífitas y trepadoras.
- Competencia.

